



普通高中教科书

地理图册

必修
第二册



中国地图出版社

目录

■ 序 图	2~5
世界的国家和地区	2
中国行政区划	4
■ 第一章 人口分布、迁移与合理容量	6~15
第一节 人口分布的特点及影响因素	6
第二节 人口迁移的特点及影响因素	10
第三节 资源环境承载力与人口合理容量	14
■ 第二章 乡村和城镇	16~25
第一节 乡村和城镇内部的空间结构	16
第二节 地域文化与城乡景观	20
第三节 不同地区城镇化的过程和特点	22
■ 第三章 产业区位选择	26~35
第一节 农业区位因素	26
第二节 工业区位因素	29
第三节 服务业区位因素	32
第四节 运输方式和交通布局与区域发展的关系	34
■ 第四章 国土开发与保护	36~43
第一节 京津冀协同发展的地理背景	36
第二节 国家海洋权益与海洋发展战略	38
第三节 南海诸岛与钓鱼岛及其附属岛屿	40
第四节 地理信息技术的应用	42
■ 第五章 人类面临的环境问题与可持续发展	44~48
第一节 人类面临的主要环境问题	44
第二节 协调人地关系与可持续发展	46



本册图例

★ 中国首都	国界	高速铁路	常年河
● 外国首都、首府	未定国界	铁路	时令河
◎ 中国省级行政中心	地区界	高速公路	运河
◎ 中国地级市行政中心	军事分界线、停火线	国道	淡水湖、咸水湖
◎ 中国县级行政中心	中国省、自治区、直辖市界	公路	山峰
○ 一般居民点 (专题图居民点)	中国特别行政区界	机场	2 047 山峰海拔/m
—— 洲界	中国地级界	海岸线	珊瑚礁

注：本书中国和世界全图的底图要素均为今内容。

世界的国家和地区

1: 85 000 000

0 850 1 700 km



以 数 字 代

- | | | |
|--------|----------|---------|
| 1 爱沙尼亚 | 4 亚美尼亚 | 7 塔吉克斯坦 |
| 2 拉脱维亚 | 5 阿塞拜疆 | 8 克什米尔 |
| 3 格鲁吉亚 | 6 吉尔吉斯斯坦 | 9 黎巴嫩 |



表的国家和地区的名称

10 巴勒斯坦	13 布基纳法索	16 卢旺达	19 波多黎各 (美)	22 多米尼克
11 以色列	14 多哥	17 布隆迪	20 维尔京群岛 (美)	23 圣卢西亚
12 阿拉伯联合酋长国	15 贝宁	18 马拉维	21 圣基茨和尼维斯	24 圣文森特和格林纳丁斯

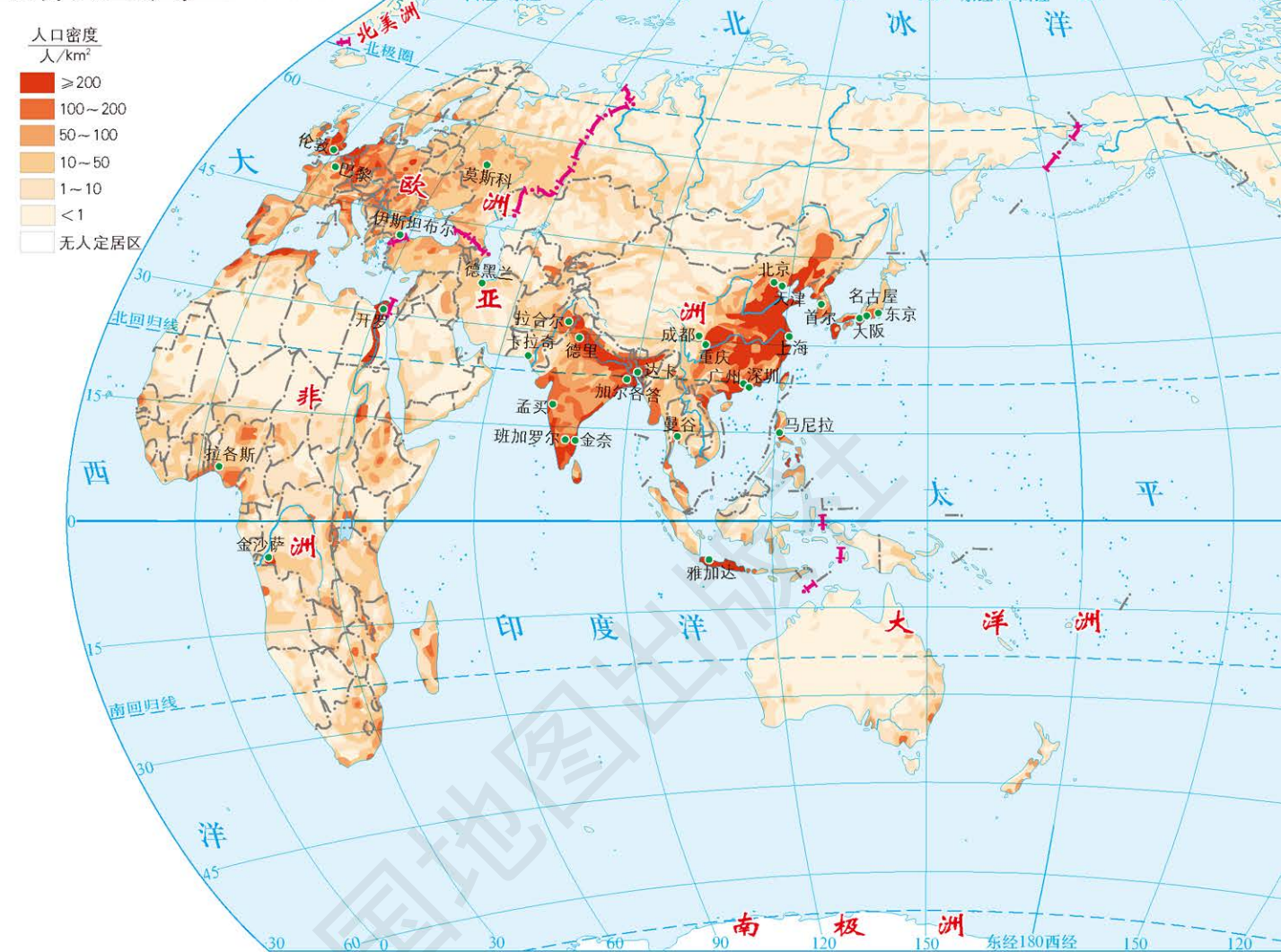




第一节 人口分布的特点及影响因素

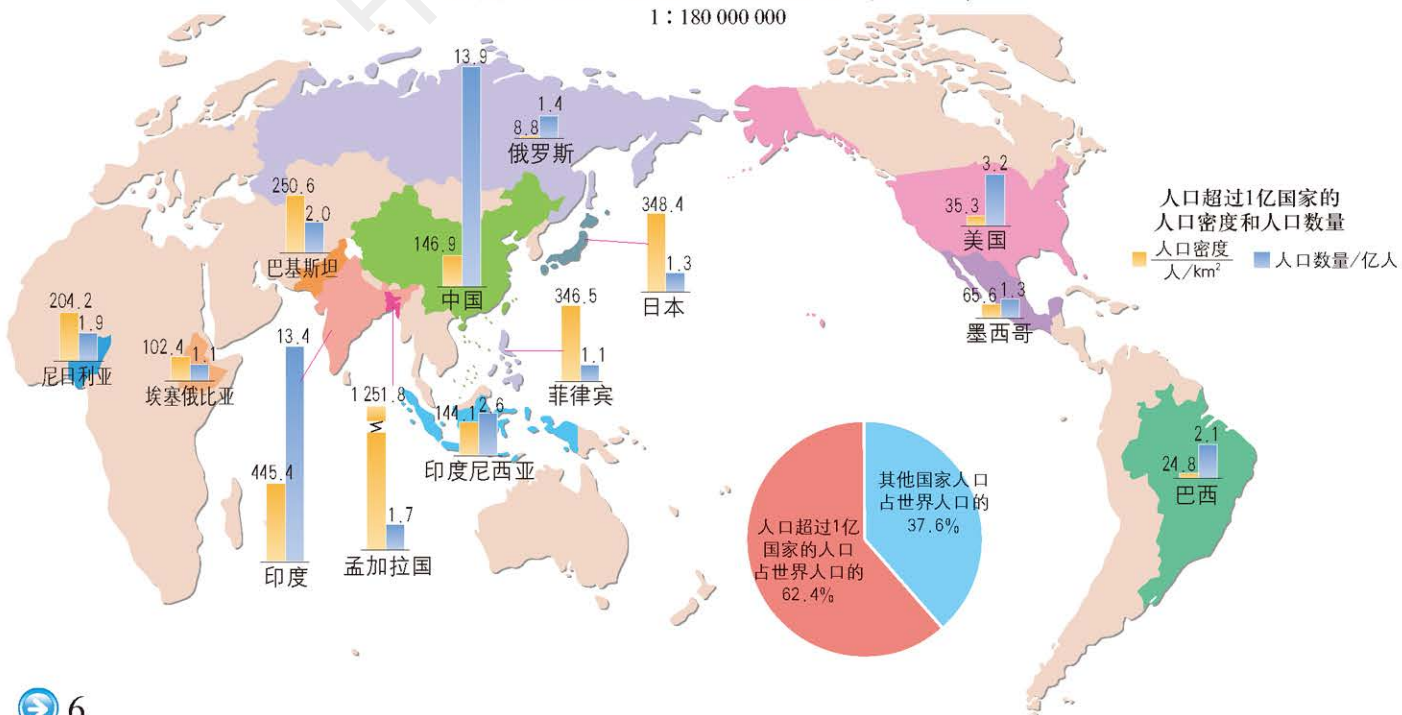
世界人口分布的特点

世界人口分布 1:130 000 000



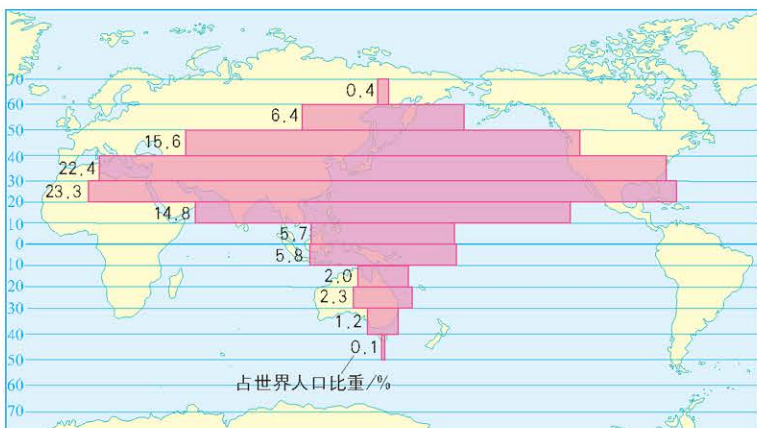
世界上人口超过1亿的国家（2017年）

1:180 000 000

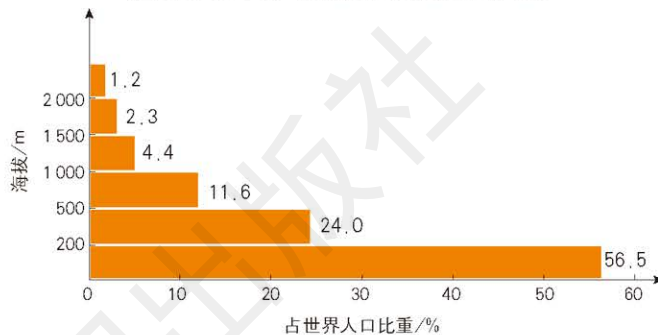




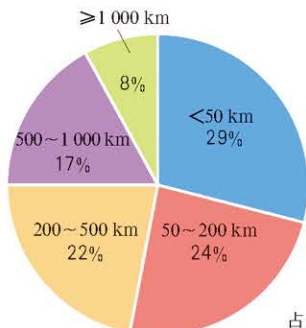
世界人口分布随纬度变化示意



世界人口分布随海拔变化示意

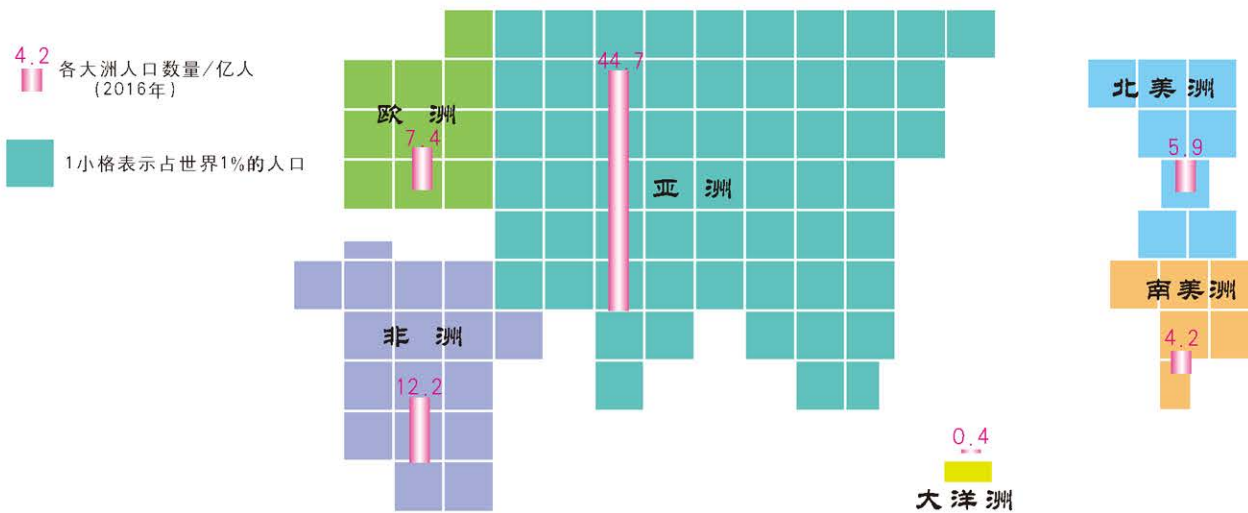


世界人口分布随距海远近变化示意



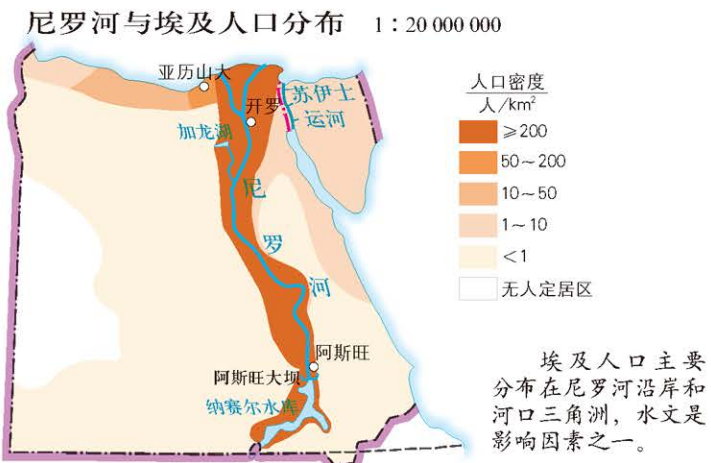
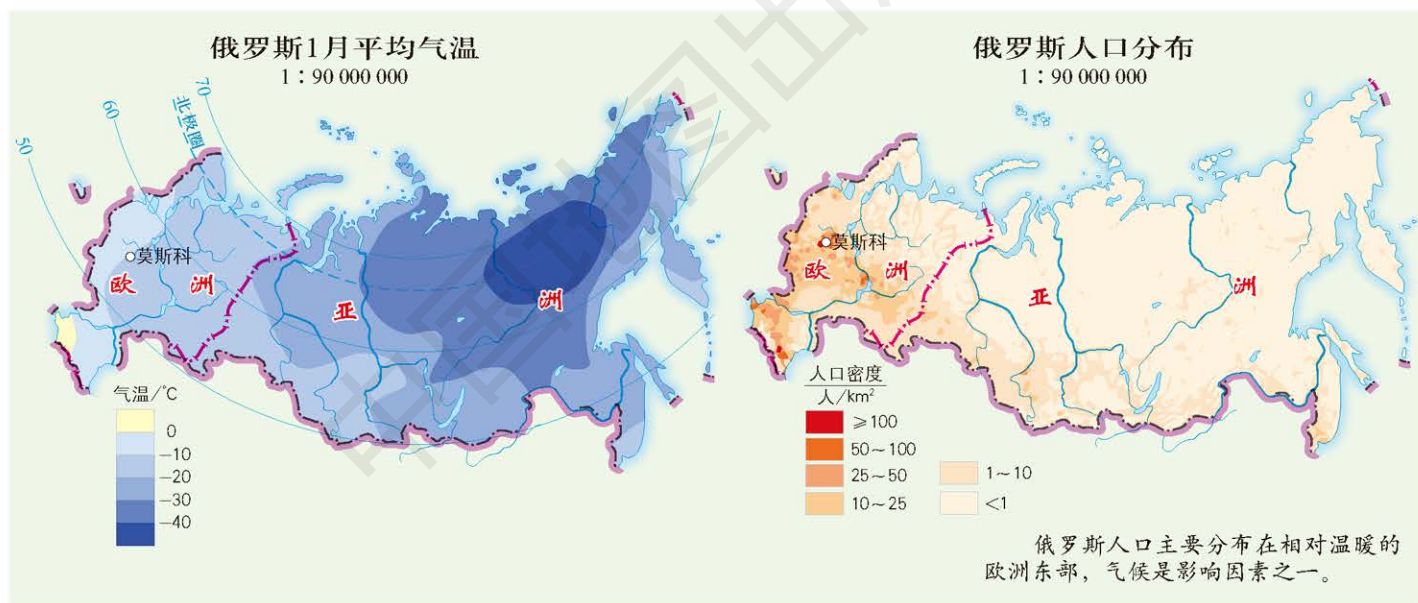
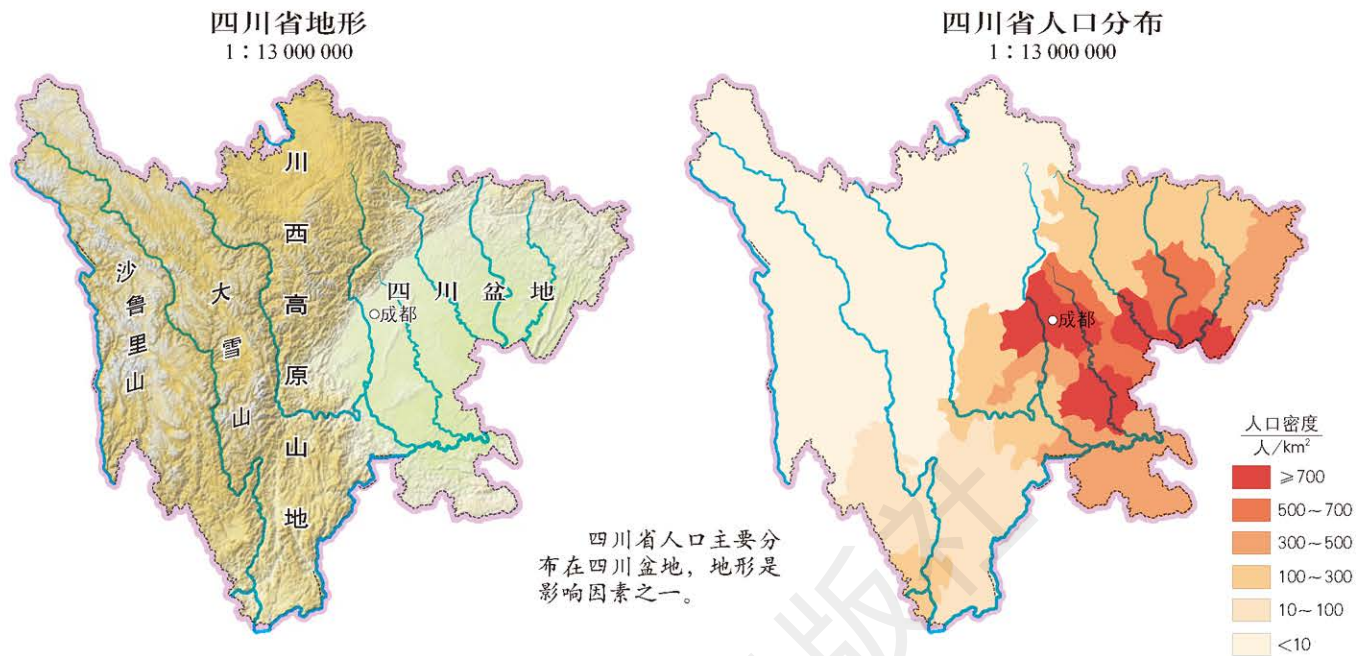
注：图内百分比表示占世界人口的比重。

世界人口按大洲分布示意



■ 影响人口分布的主要因素

自然因素



社会经济因素

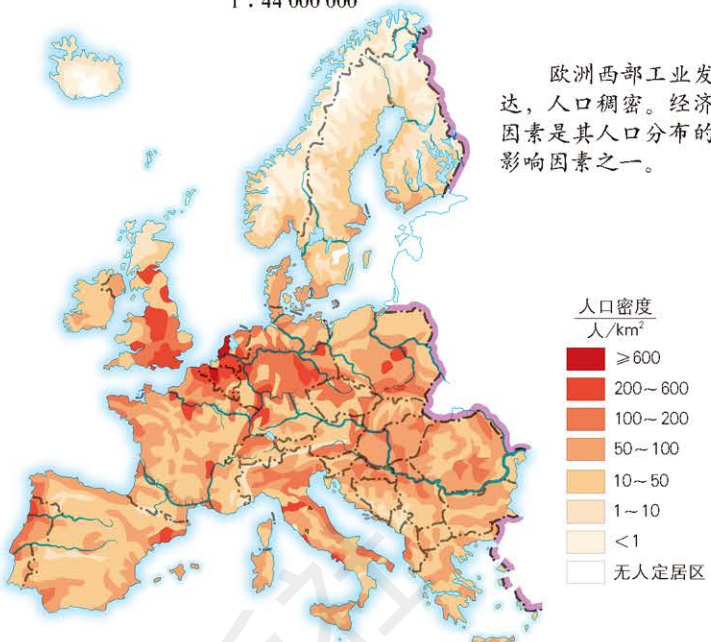
欧洲西部工业区

1: 44 000 000



欧洲西部人口分布

1: 44 000 000



欧洲西部工业发达，人口稠密。经济因素是其人口分布的影响因素之一。

影响澳大利亚人口分布的主要因素

澳大利亚气候类型

1: 55 000 000



澳大利亚年降水量

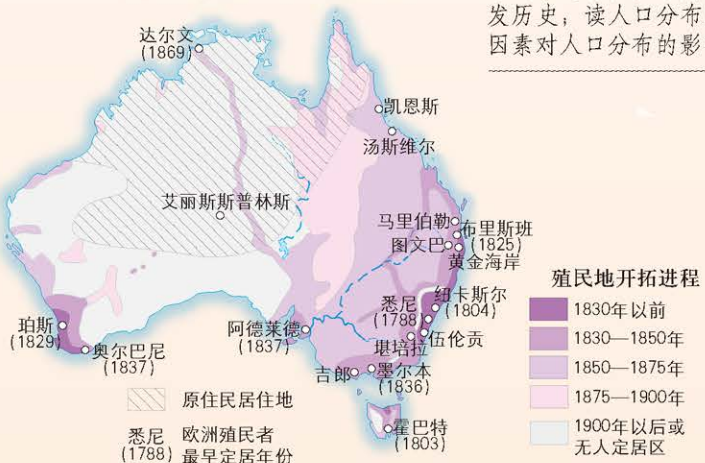
1: 55 000 000



读图指导

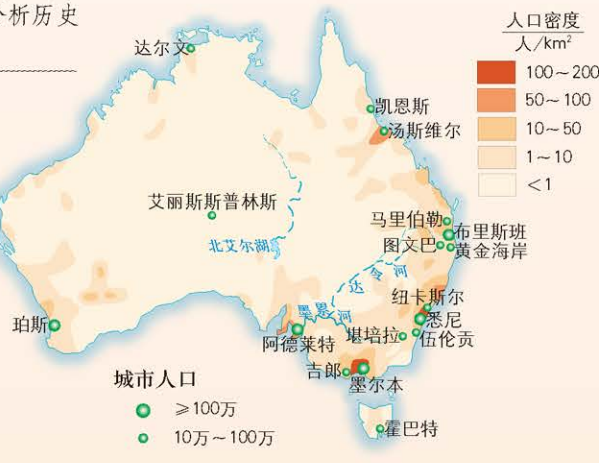
①读气候类型图和年降水量图，了解澳大利亚气候分布的特点；读人口分布图，分析气候因素对人口分布的影响。②读欧洲殖民者开拓进程图，了解澳大利亚的开发历史；读人口分布图，分析历史因素对人口分布的影响。

欧洲殖民者在澳大利亚的开拓进程 1: 55 000 000



澳大利亚人口分布

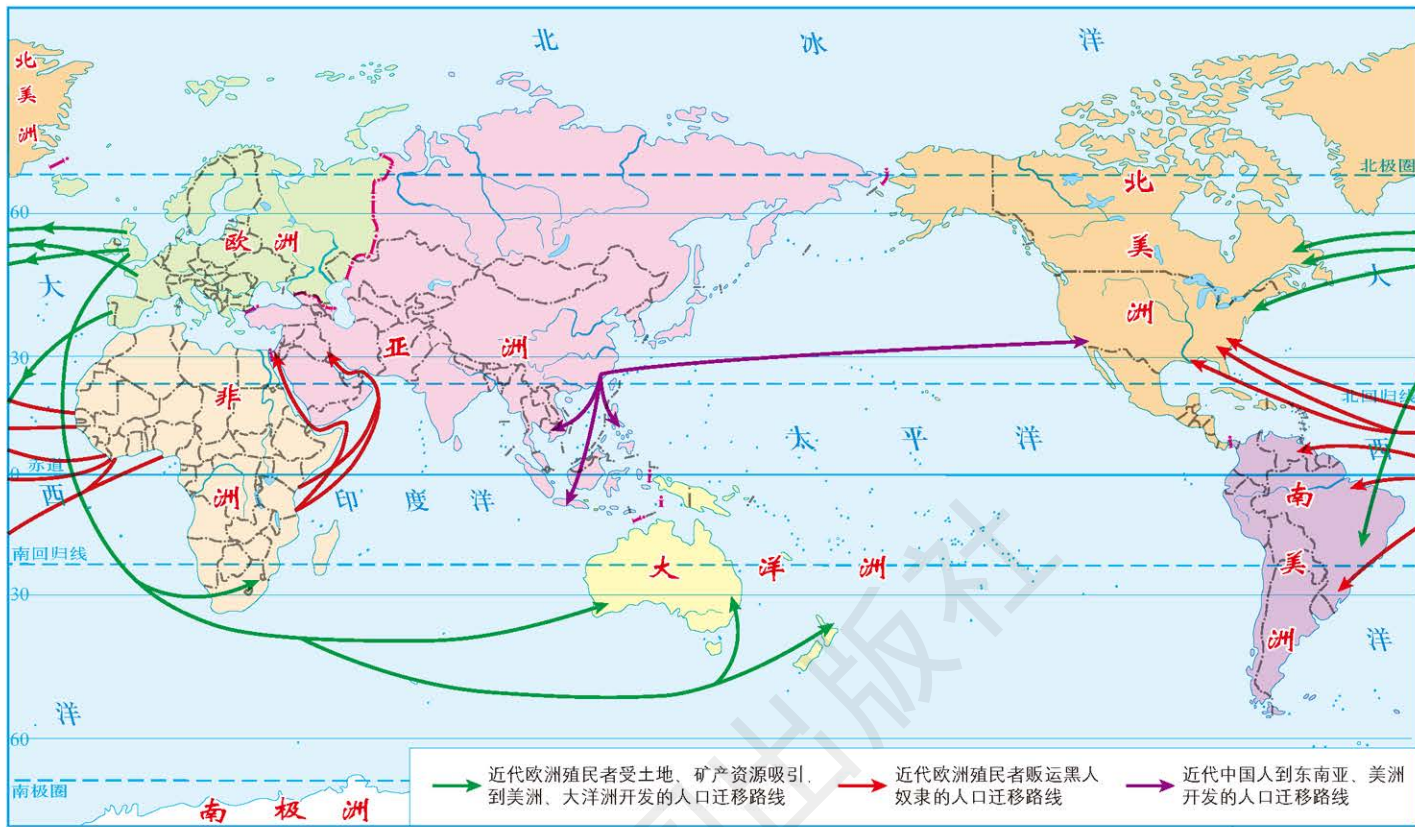
1: 55 000 000



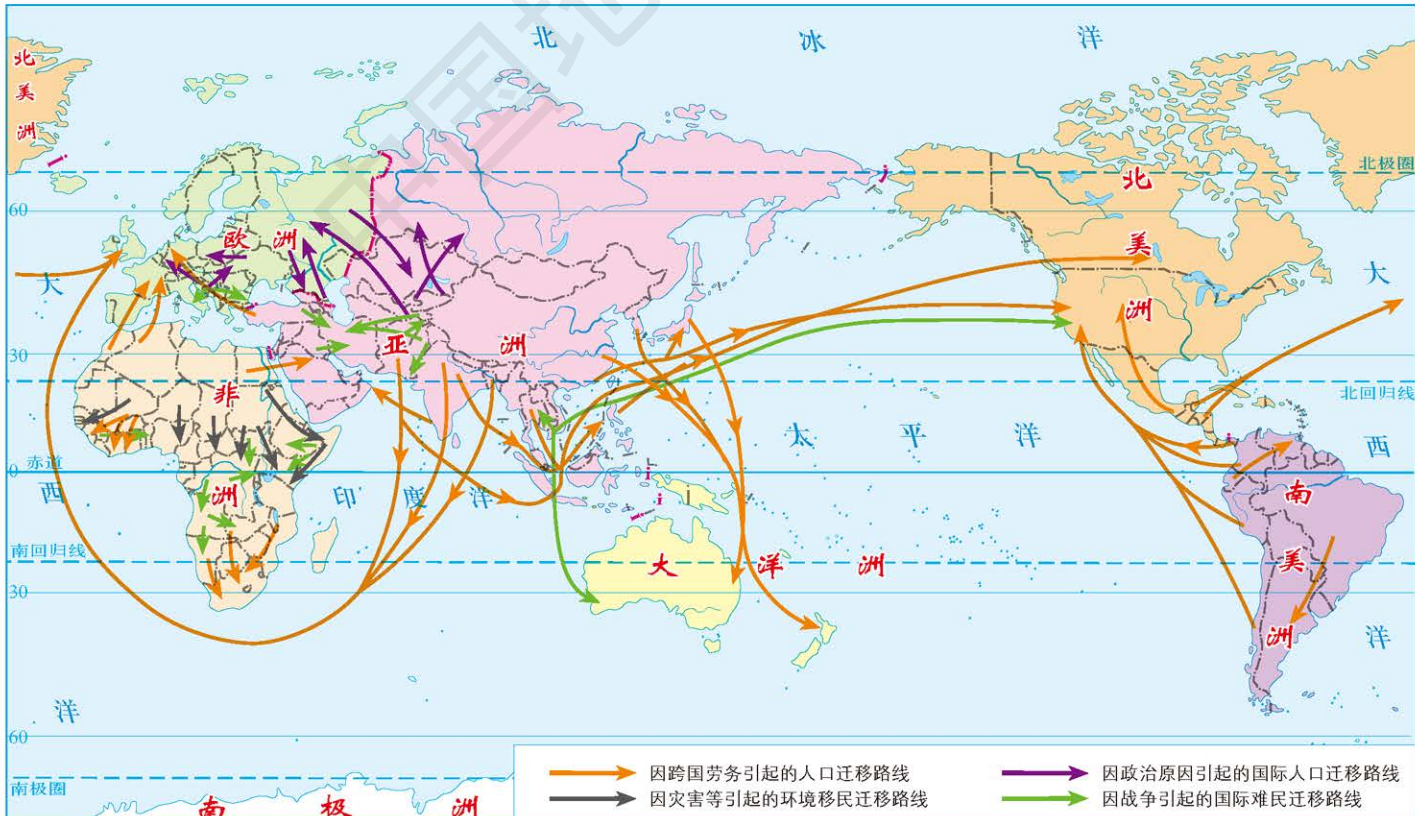
第二节 人口迁移的特点及影响因素

■ 国际人口迁移及其特点

近代国际人口迁移 1:210 000 000



第二次世界大战以后的国际人口迁移 1:210 000 000



■ 国内人口迁移及其特点

中国历史上的国内人口迁移



中国20世纪50—80年代的国内人口迁移



中国20世纪80年代中后期以来的国内人口迁移

1 : 35 000 000

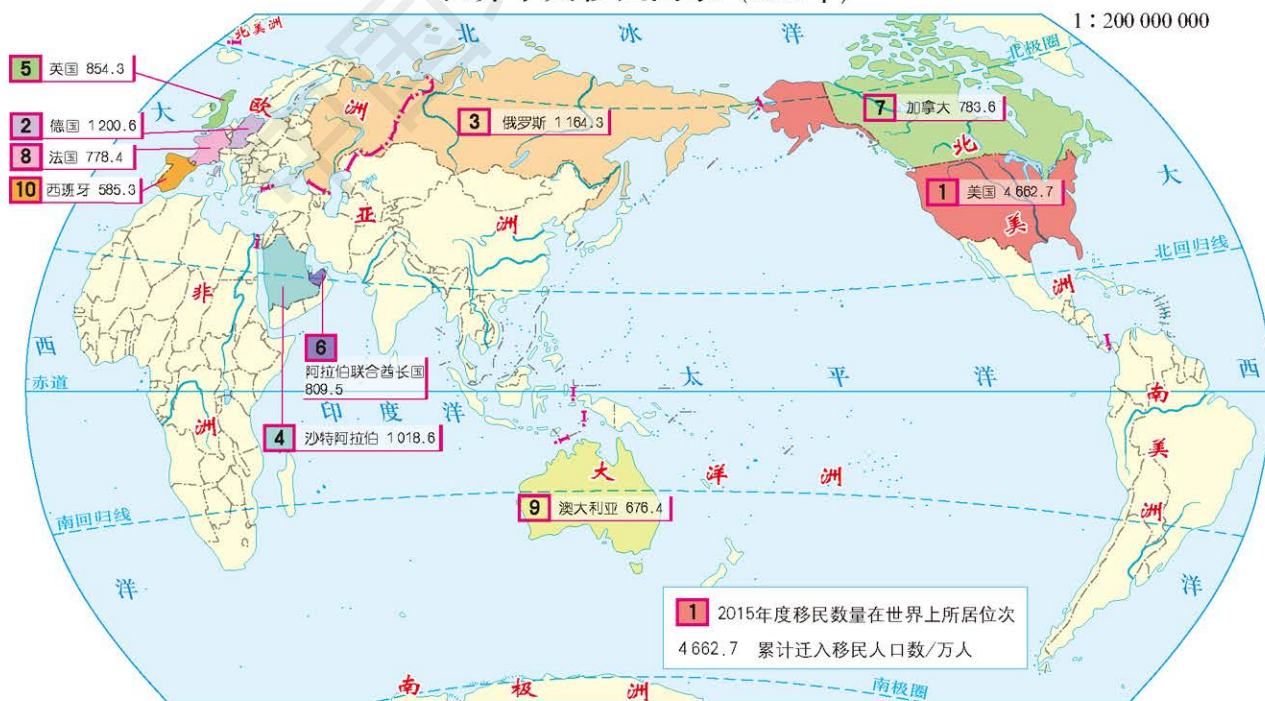
从农村到城市的人口迁移，是我国20世纪80年代中后期以来国内人口迁移的主要形式。



■ 影响人口迁移的主要因素

经济因素

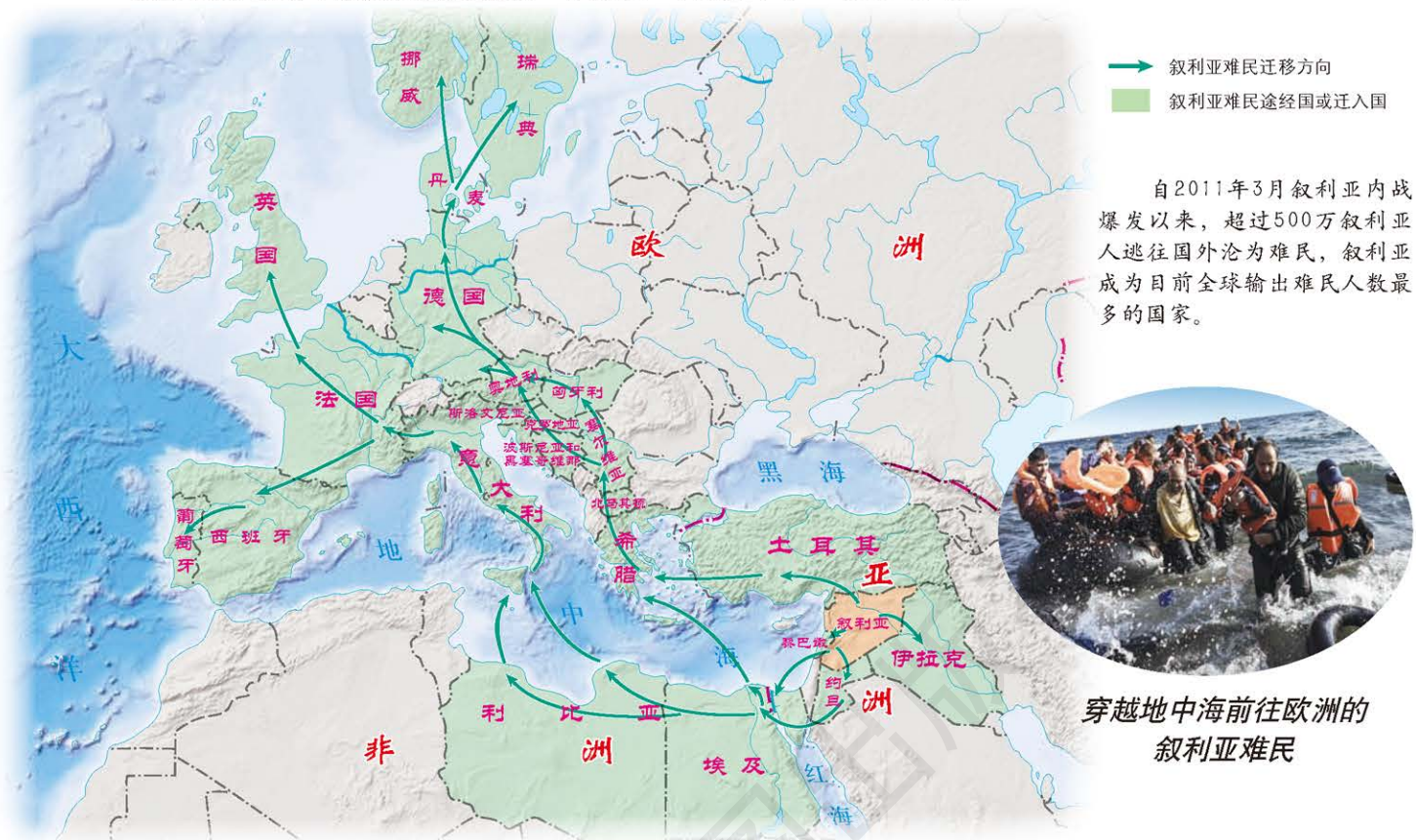
世界十大移民国家 (2015年)



2015年，世界移民人口数已经上升到2.43亿。世界移民集中的10个国家中，有8个是发达国家。大约每10个国际移民当中有6个人居住在发达国家。发达国家与发展中国家之间生活水平、薪酬水平与教育水平的差距，是目前跨国劳务移民迁移的主要原因。

政治因素

叙利亚内战导致的难民迁移 (2011—2016年) 1:50 000 000



社会文化因素

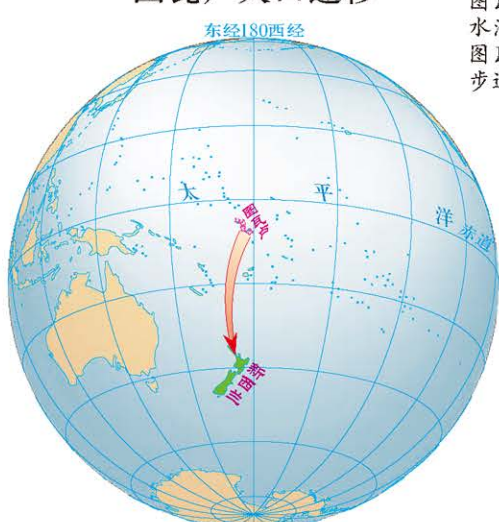
1947年印巴分治时期的人口迁移

1:38 000 000



生态环境因素

图瓦卢人口迁移



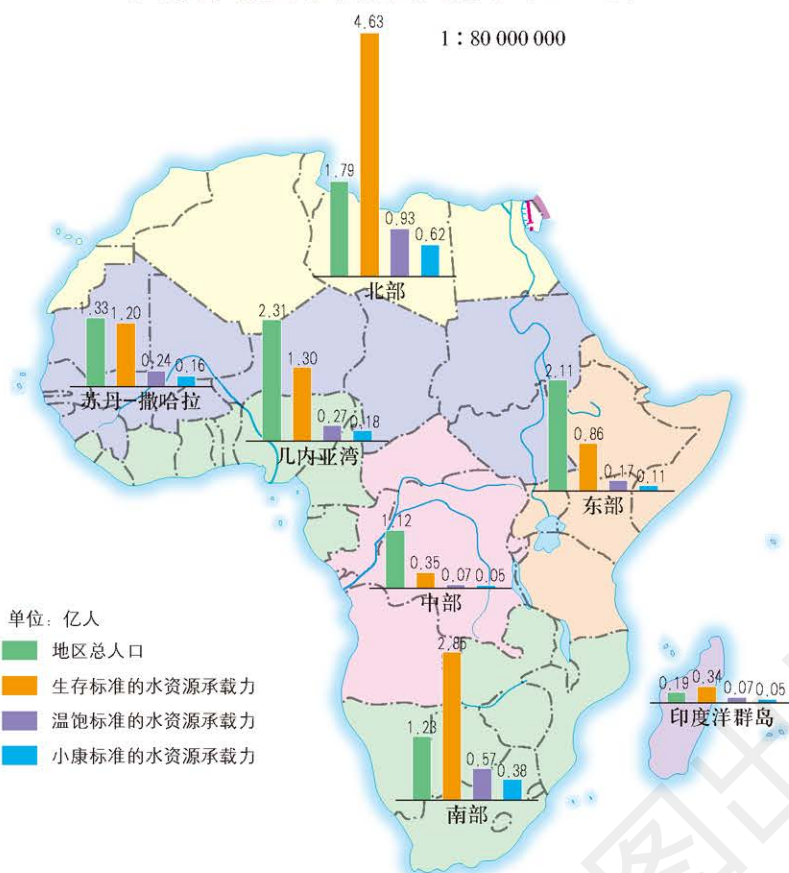
图瓦卢



第三节 资源环境承载力与人口合理容量

■ 资源环境承载力

非洲各地区水资源承载力 (2009年)

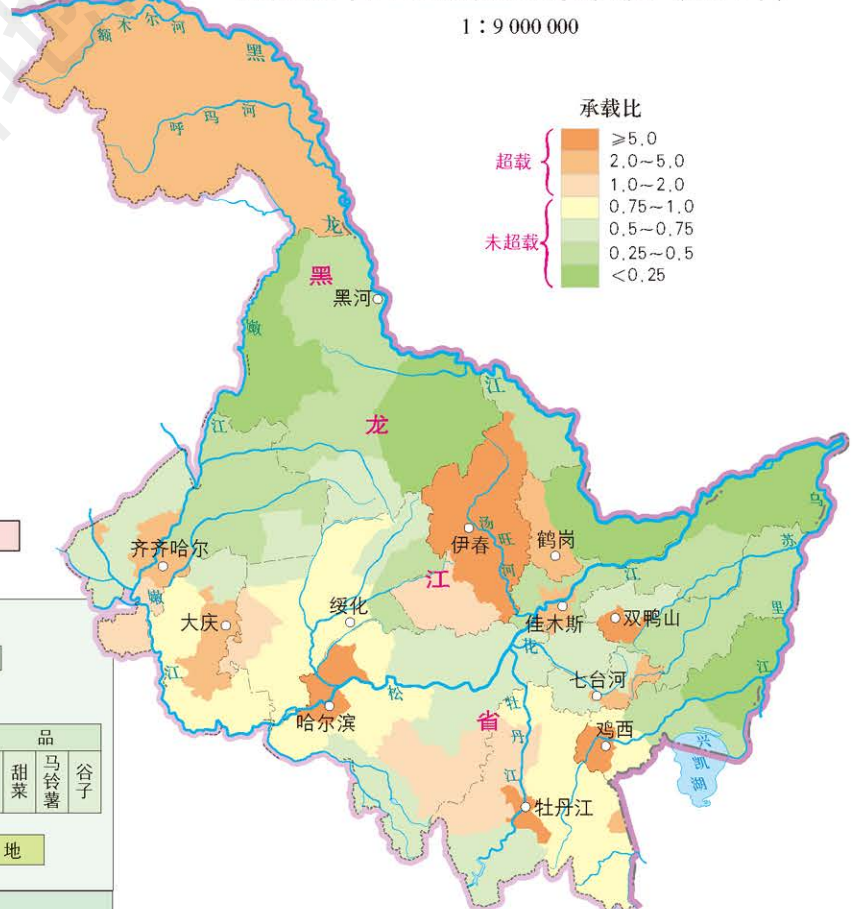


居民人均每日用水量

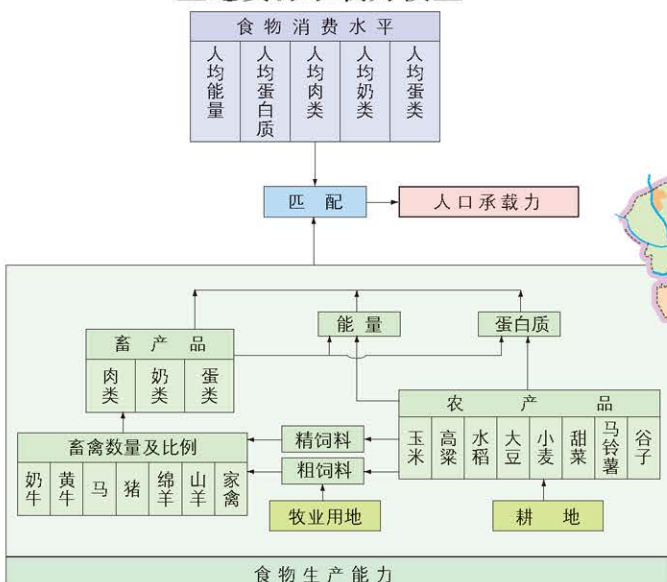


正在取水的非洲儿童

黑龙江省土地资源承载程度 (1990年)



土地资源承载力模型



■ 人口合理容量



世界资源环境承载力100亿人左右
(图中每个人代表5亿人, 符号位置不表示分布)



中国资源环境承载力16亿人, 以年人均粮食500千克计算, 中国每年需要粮食8亿吨。



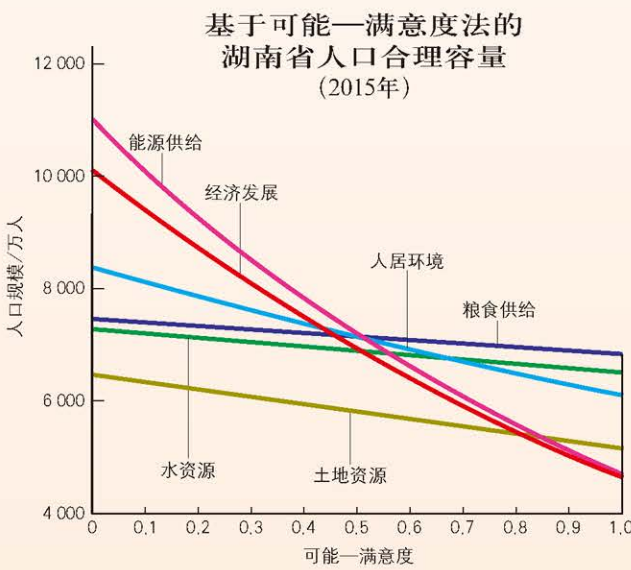
世界人口合理容量60亿人
(图中每个人代表5亿人, 符号位置不表示分布)



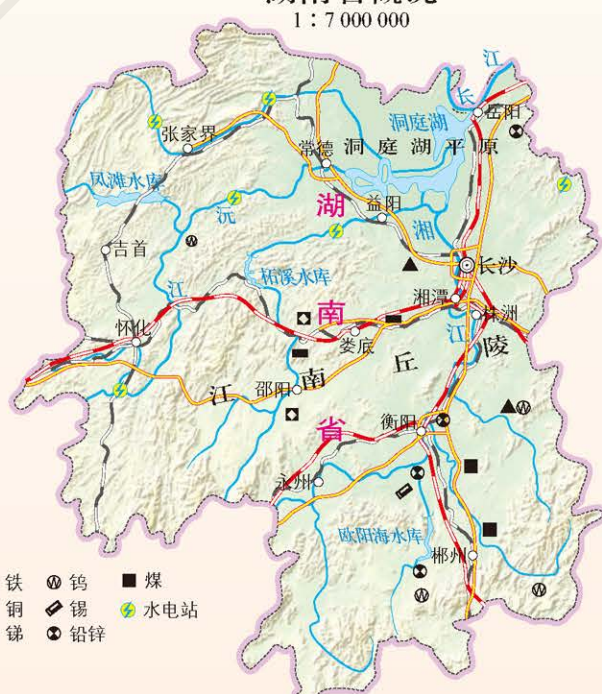
中国人口合理容量8亿~9亿人, 以年人均粮食500千克计算, 中国每年需要粮食4亿~4.5亿吨。

湖南省人口合理容量的测算

可能—满意度指标体系



湖南省概况

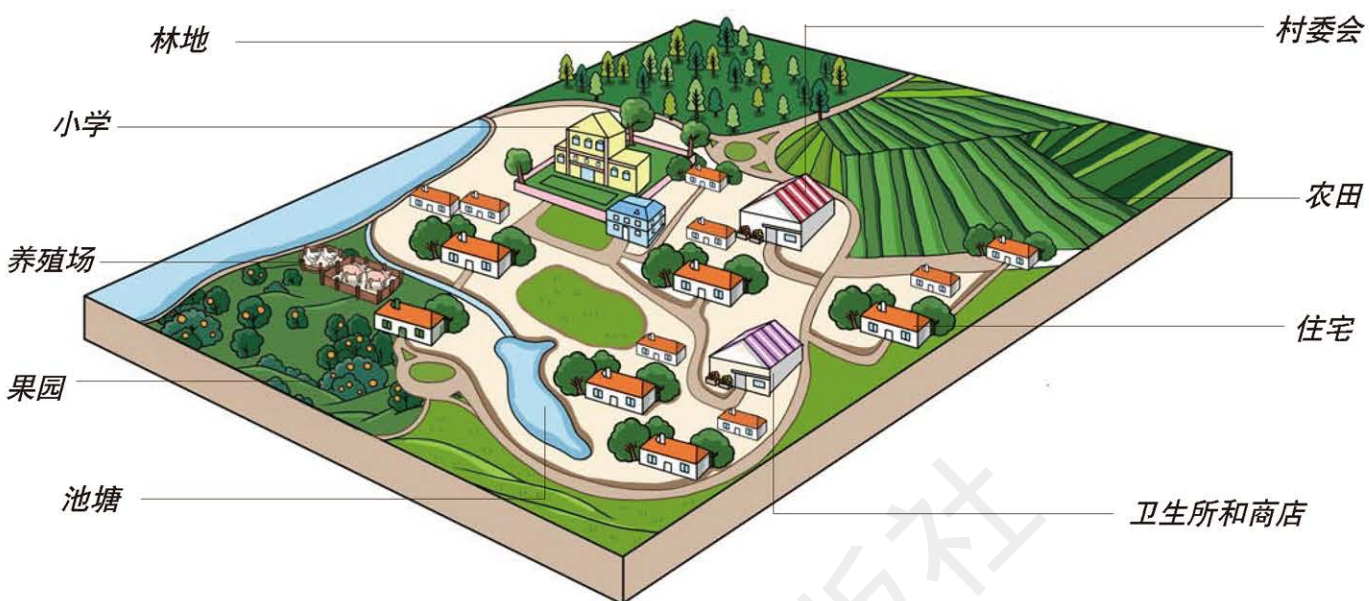


在测算区域人口合理容量时, 可能—满意度法是应用较为广泛的方法。土地资源、能源供给和经济发展是制约湖南省人口合理容量增加的主要因素。据测算, 湖南省2015年的人口合理容量为5 400万~6 058万, 而该省当年的常住人口为6 783万。

乡村内部的空间结构

乡村内部空间结构示意

乡村和城镇



坛板坡村广场

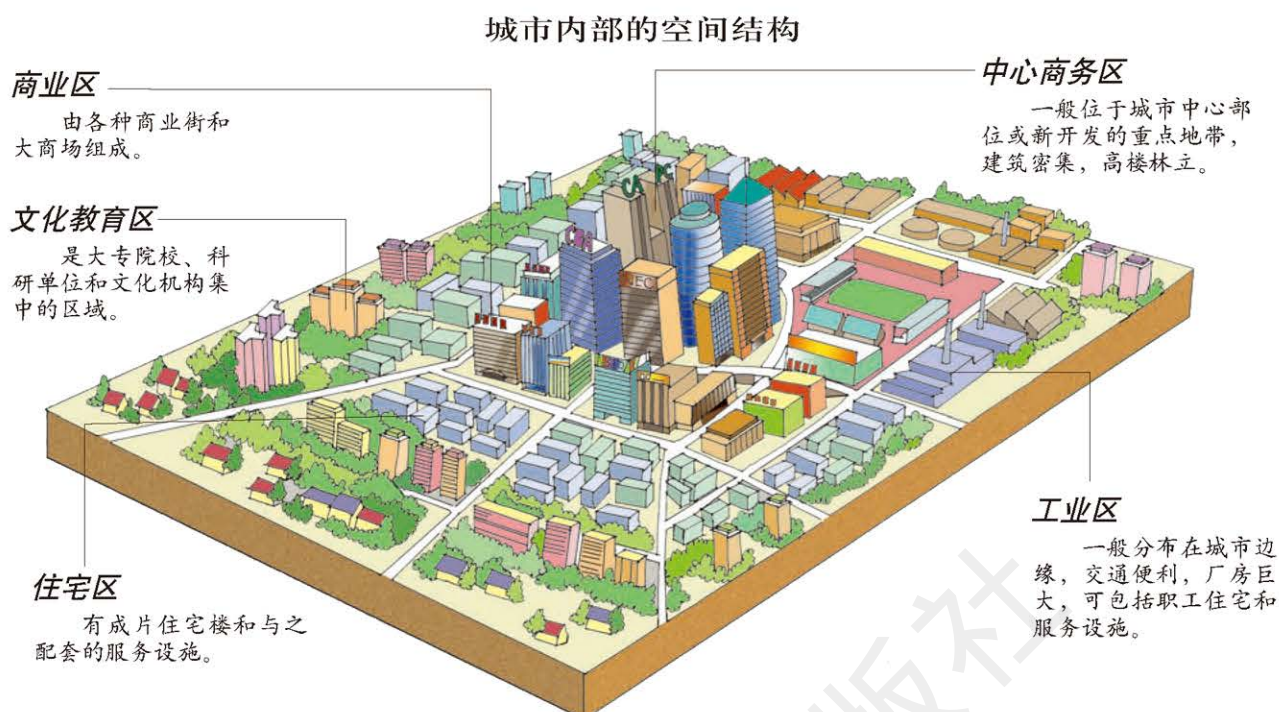


坛板坡村民宅

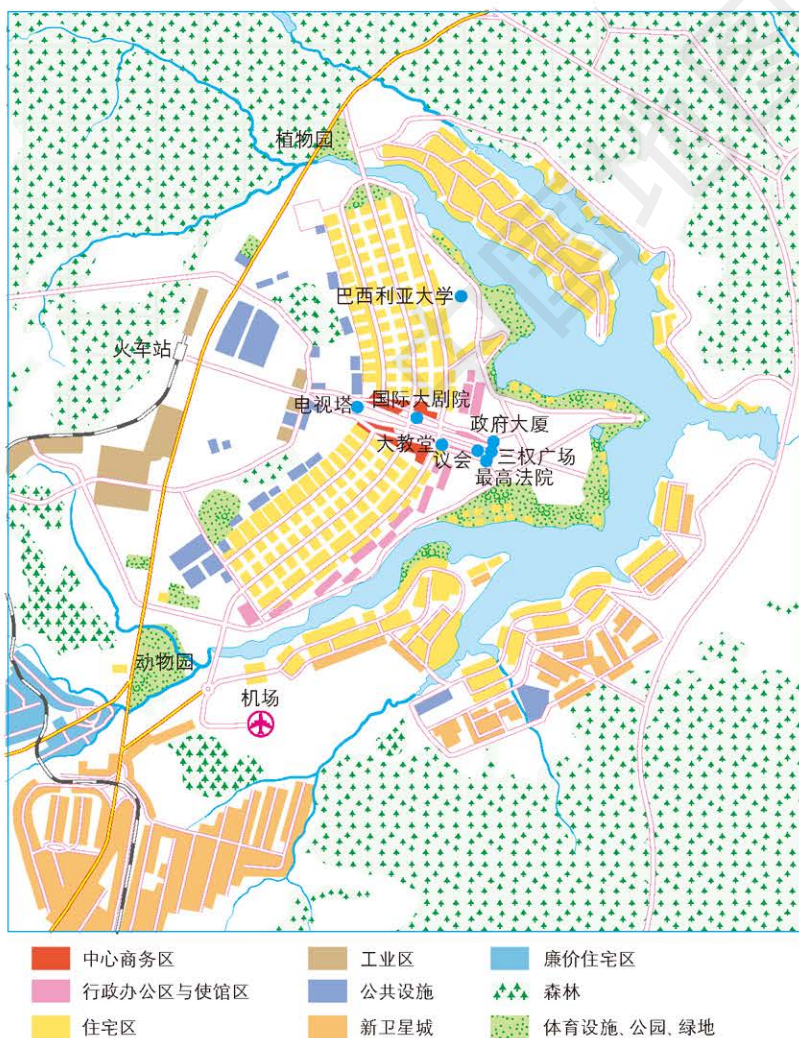


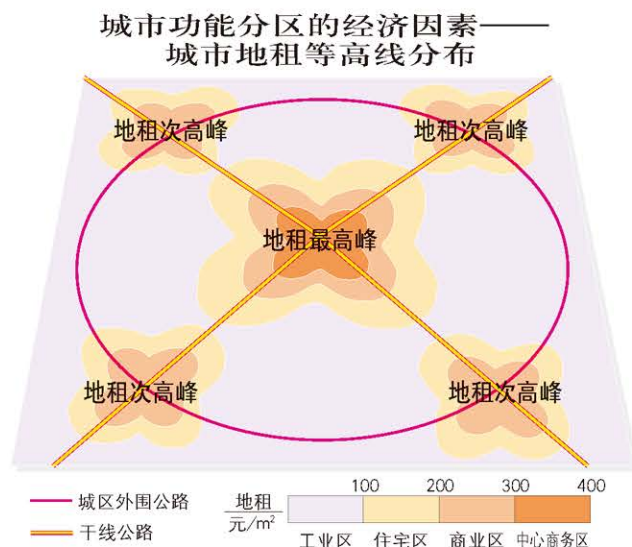
坛板坡村果园

■ 城镇内部的空间结构

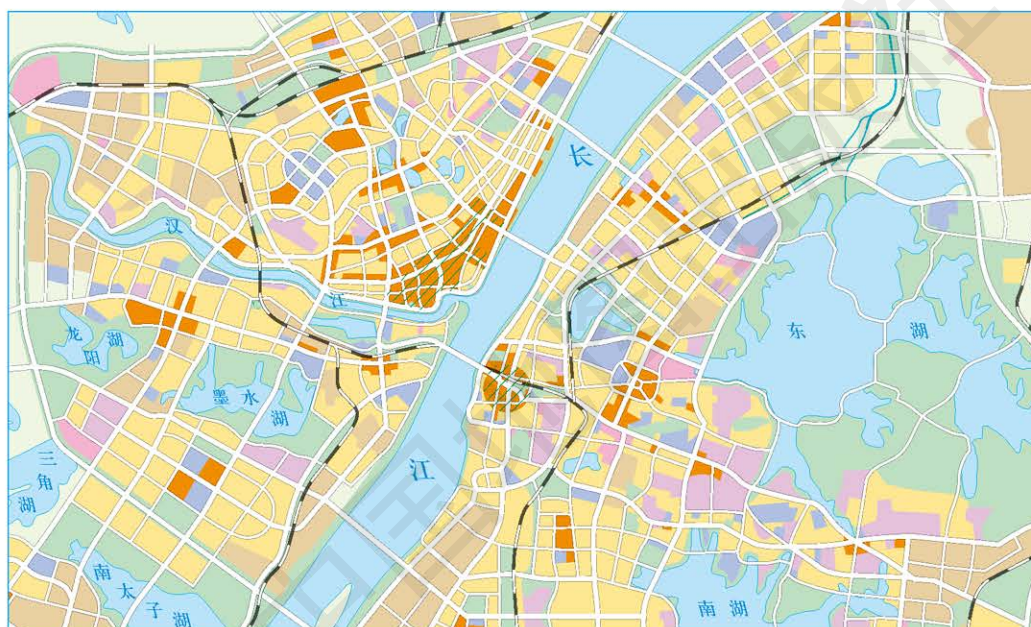


巴西首都巴西利亚的城市功能分区 1:200 000





历史原因对武汉城市内部空间结构的影响

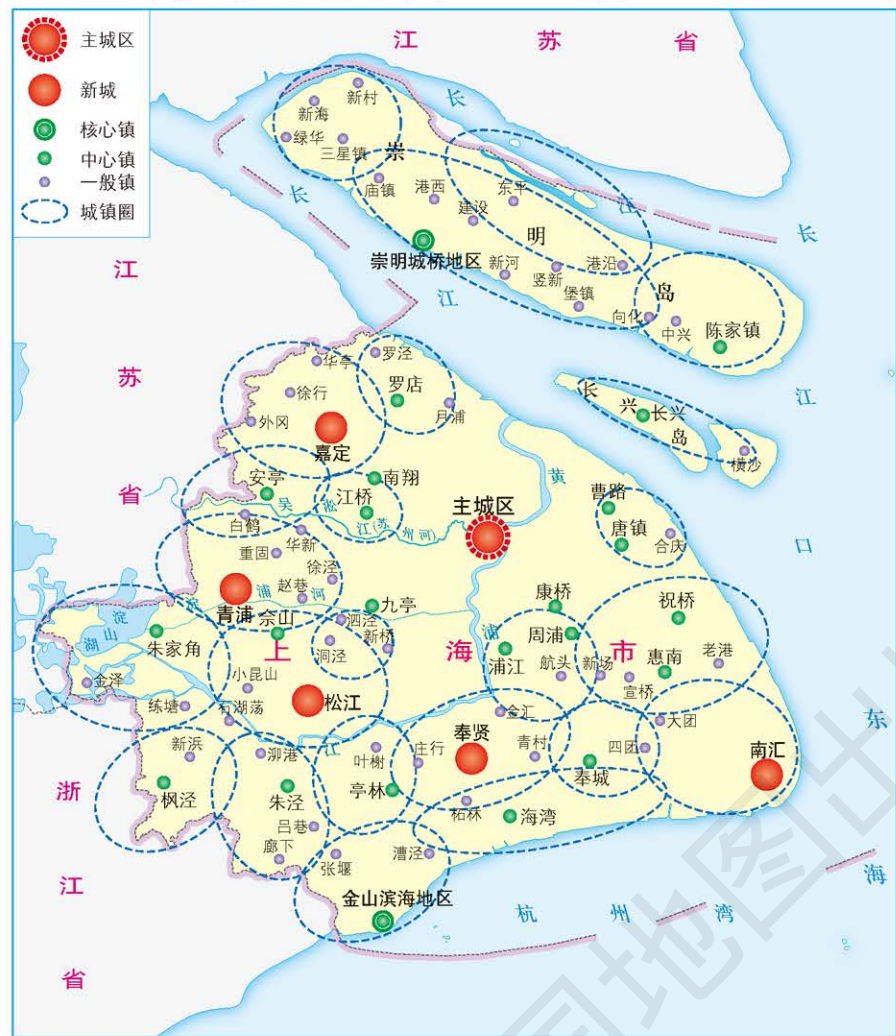


- 商业中心区
历史时期形成的商业中心区
行政区
行政区
住宅区
文化教育区
公共设施
工业区
绿地和风景区



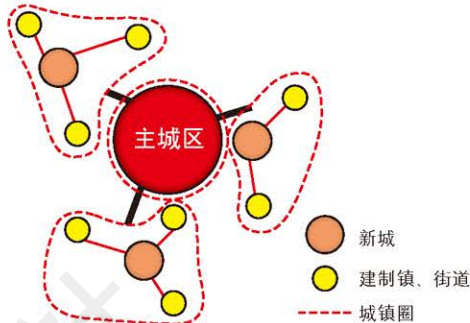
■ 合理利用城乡空间

上海市城乡体系规划 (2017—2035年) 1:1100000

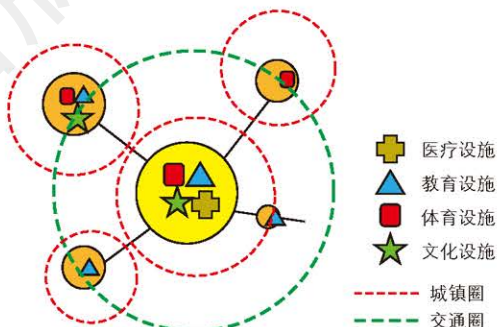


上海市以城镇圈作为郊区空间组织和资源配置的基本单元，强化交通网络支撑，共享公共服务设施，城镇圈内通勤时间控制在30~40分钟。每个城镇圈覆盖若干个建制镇或街道，统筹公共服务资源，实现郊区的城乡协调发展。

城镇圈空间体系模式

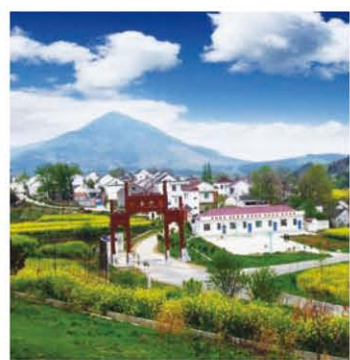


以人的需求和可达性确定的城镇圈组织模式



江苏省句容市天王镇白沙村村庄建设和环境整治规划

白沙村通过村庄建设和环境整治，人居环境大大改善。村民利用优越的山水资源，发展有机农业和旅游业，将白沙村建成了农家乐生态休闲旅游山庄。旅游业为村民提供了就业机会，增加了经济收入。



人居环境优美的白沙村



第二节 地域文化与城乡景观



美国波士顿

北美是世界经济发达的地区之一，城市中心多摩天大楼，形成典型的现代建筑风格。城市景观体现了多元的地域文化。



日本东京

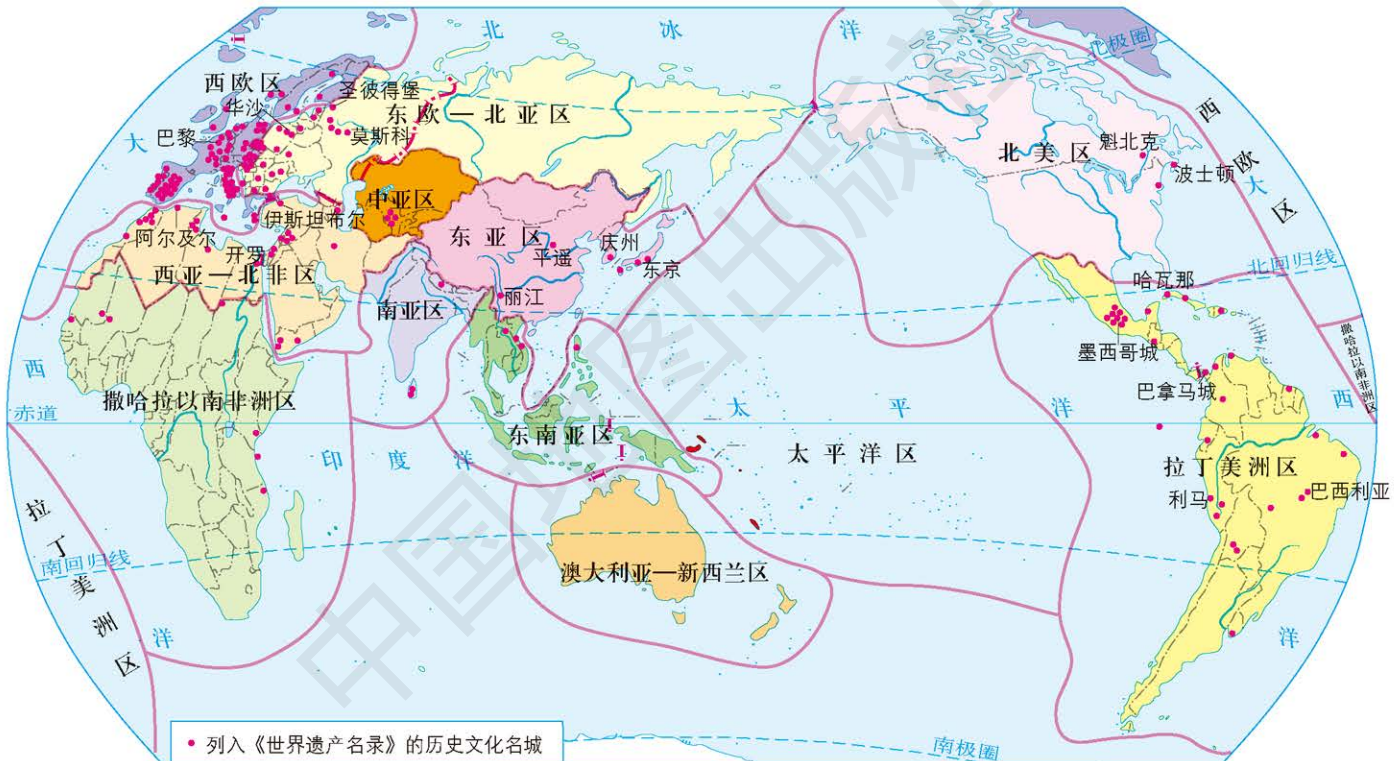
东亚受中国古代文化的影响，传统建筑多呈现中国古代建筑的风格；又因为经济发达，传统建筑与现代建筑交相辉映。



墨西哥首都墨西哥城

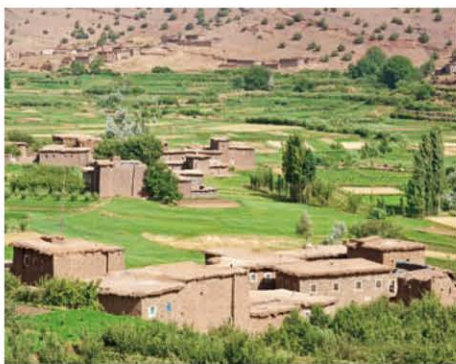
拉丁美洲文化原以印第安文化为主。随着殖民者、黑人等移民大量迁入，拉丁美洲文化经过融合，变得丰富多元。

世界地域文化分区 1:180 000 000



瑞士乡村

西欧自然条件优越，发展历史悠久，形成了农田、湖泊、绿地等优美的自然风光和悠闲、惬意的人文风情。



摩洛哥乡村

西亚—北非位于亚热带草原沙漠地区。水源是影响城乡发展最重要的因素。图中村庄位于山谷绿洲，房屋由黏土砖坯建造。



老挝乡村

东南亚地处热带，终年高温多雨。为适应自然条件，形成了以双层木楼或竹楼为主的传统民居，有利于散热防潮。



新疆特克斯

特克斯县位于水源充足的伊犁河谷绿洲，生态环境良好。特克斯县历史文化厚重，城市形态呈八卦形。



陕西西安

西安位于黄土高原，属于旱作农业和牧业交错地带。西安是我国著名古都之一，是一座将历史与现代完美结合的城市。



江苏苏州

苏州城内水网密布、河道纵横，形成“小桥流水、粉墙黛瓦、古迹名园”的独特水乡风貌。苏州被誉为“东方水都”。

中国地域文化分区

1:32 000 000

- 国家级历史文化名城
- 国家级历史文化名村(部分)



云南大理东莲花村

东莲花村坐落于红河支流米汤河畔，三面环水，环境优美。在这里马帮文化与地方民族文化和谐并存。



广东开平自力村

自力村碉楼是集防卫和居住于一体的多层塔楼式建筑，体现了华南文化与海外文化的相互融合。



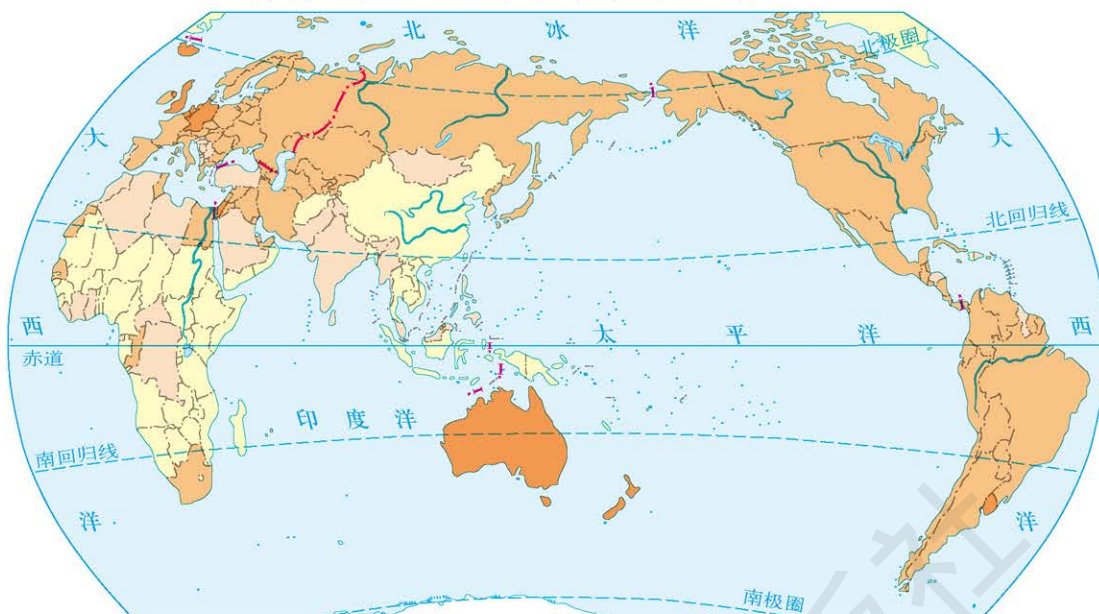
北京爨底下村

爨底下村依山而建，坐北朝南，民居以结构严谨、错落有致的四合院为主，蕴含着深厚的北方建筑文化。

第三节 不同地区城镇化的过程和特点

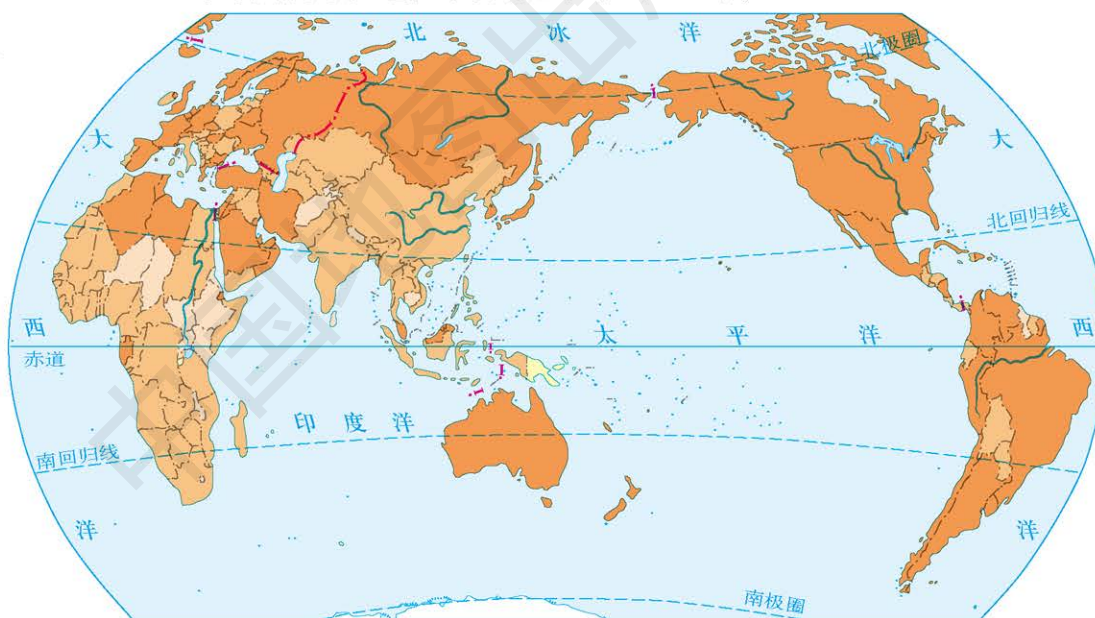
世界不同地区城镇化特点

世界各国和地区城镇化水平 (1950年) 1:230 000 000

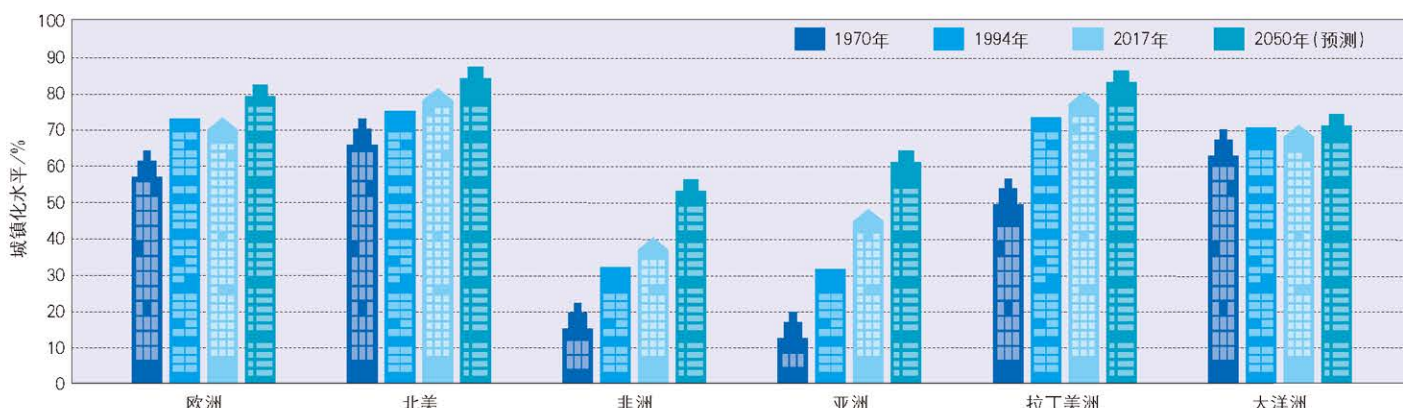


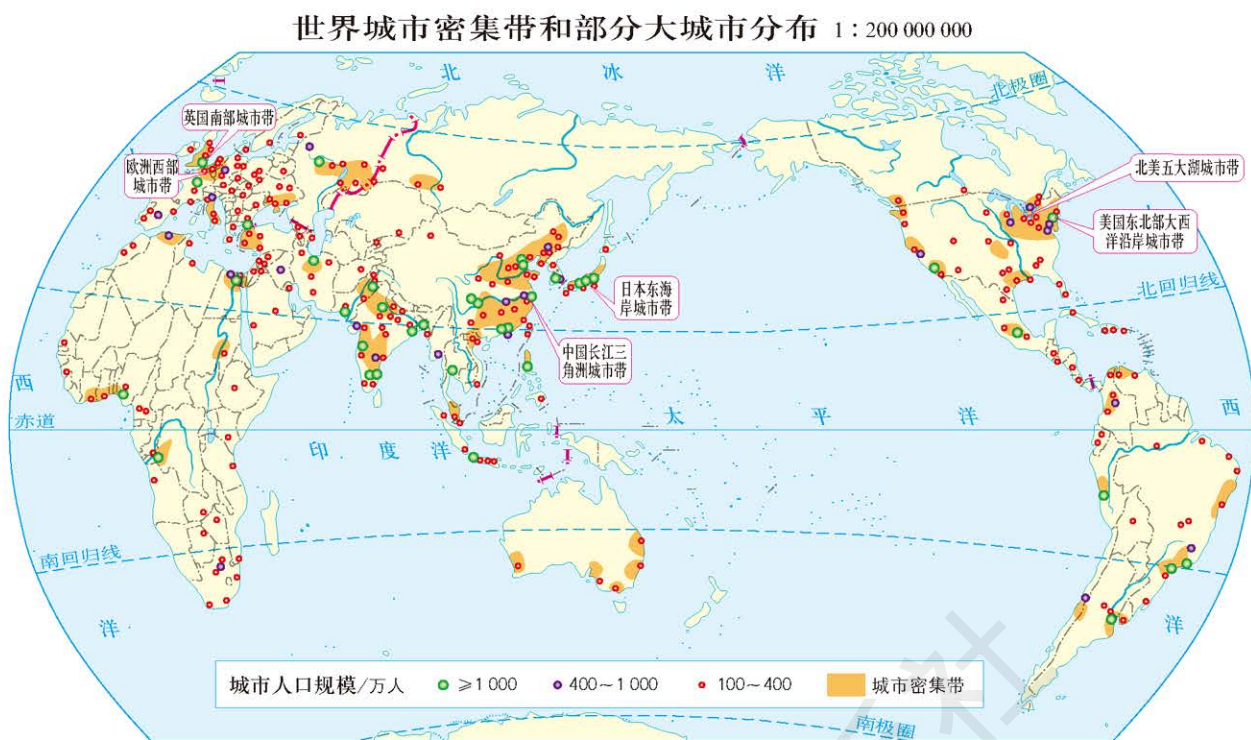
衡量一个国家或地区的城镇化程度最主要的指标是城镇人口比重。城镇人口数量、城镇数量等也是衡量城镇化的依据。

世界各国和地区城镇化水平 (2018年) 1:230 000 000



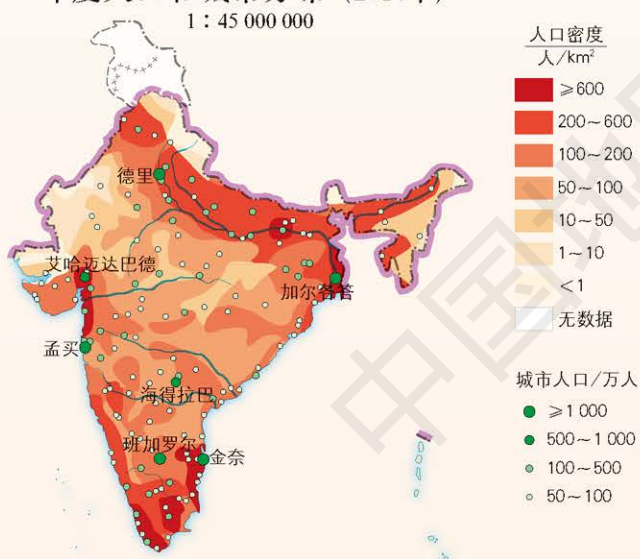
世界各地区城镇化水平比较





● 美国和印度的城镇化 ●

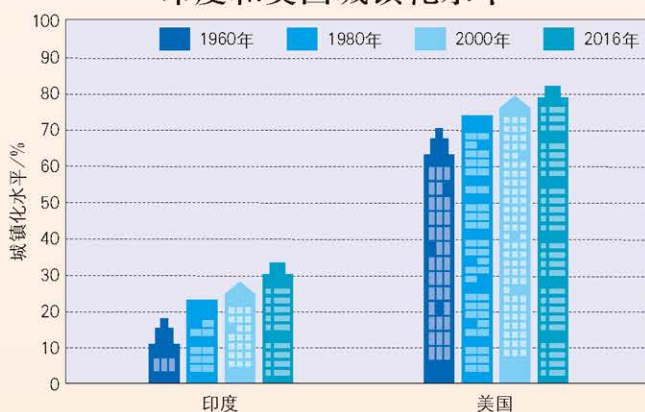
印度人口和城市分布 (2016年)



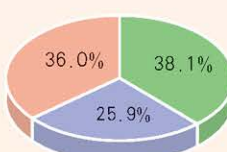
美国本土人口和城市分布 (2016年)



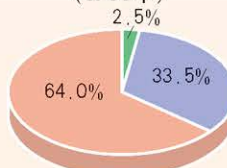
印度和美国城镇化水平



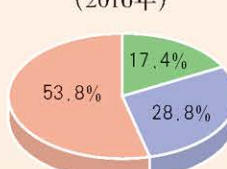
印度产业结构 (1980年)



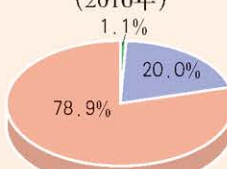
美国产业结构 (1980年)



印度产业结构 (2016年)

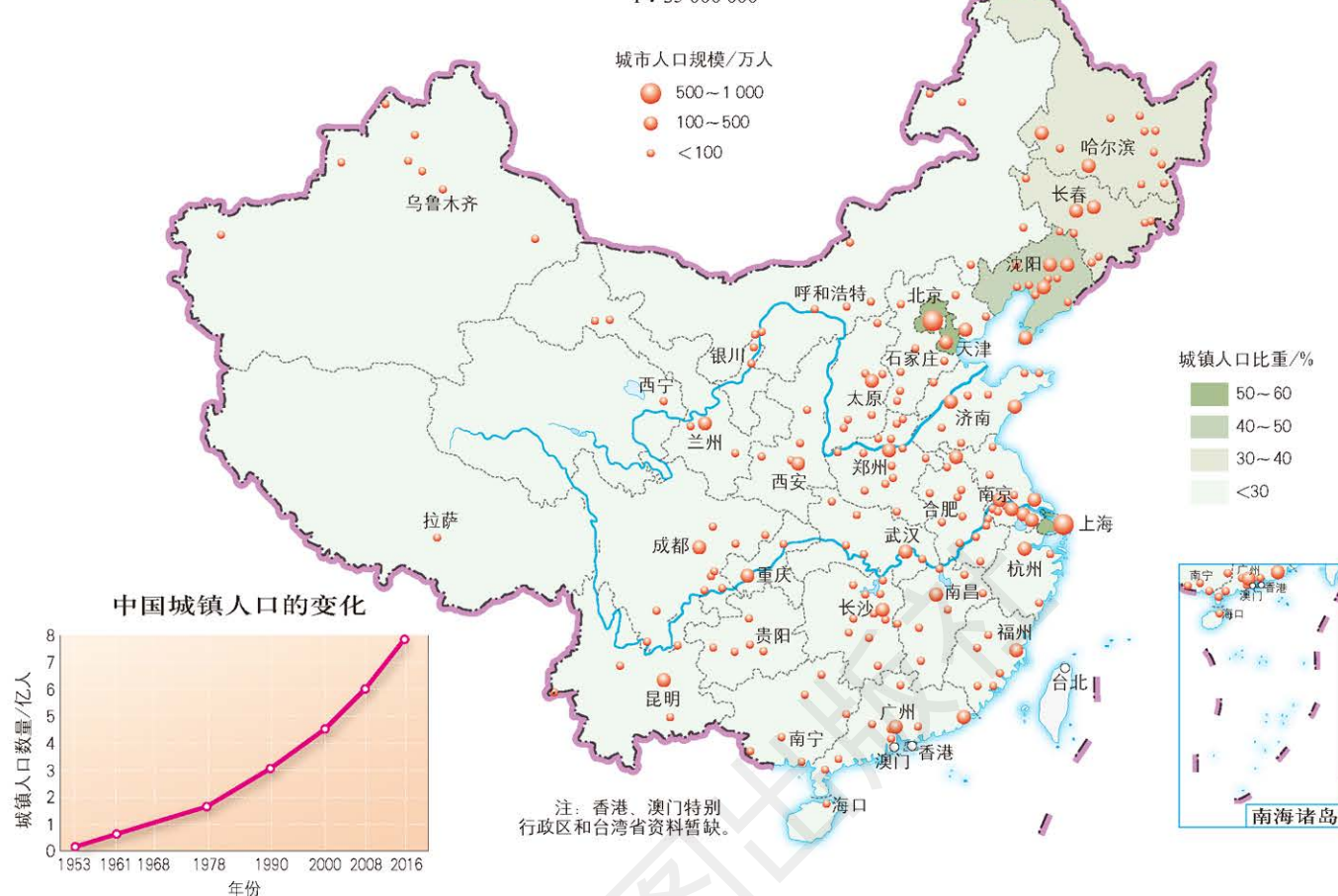


美国产业结构 (2016年)



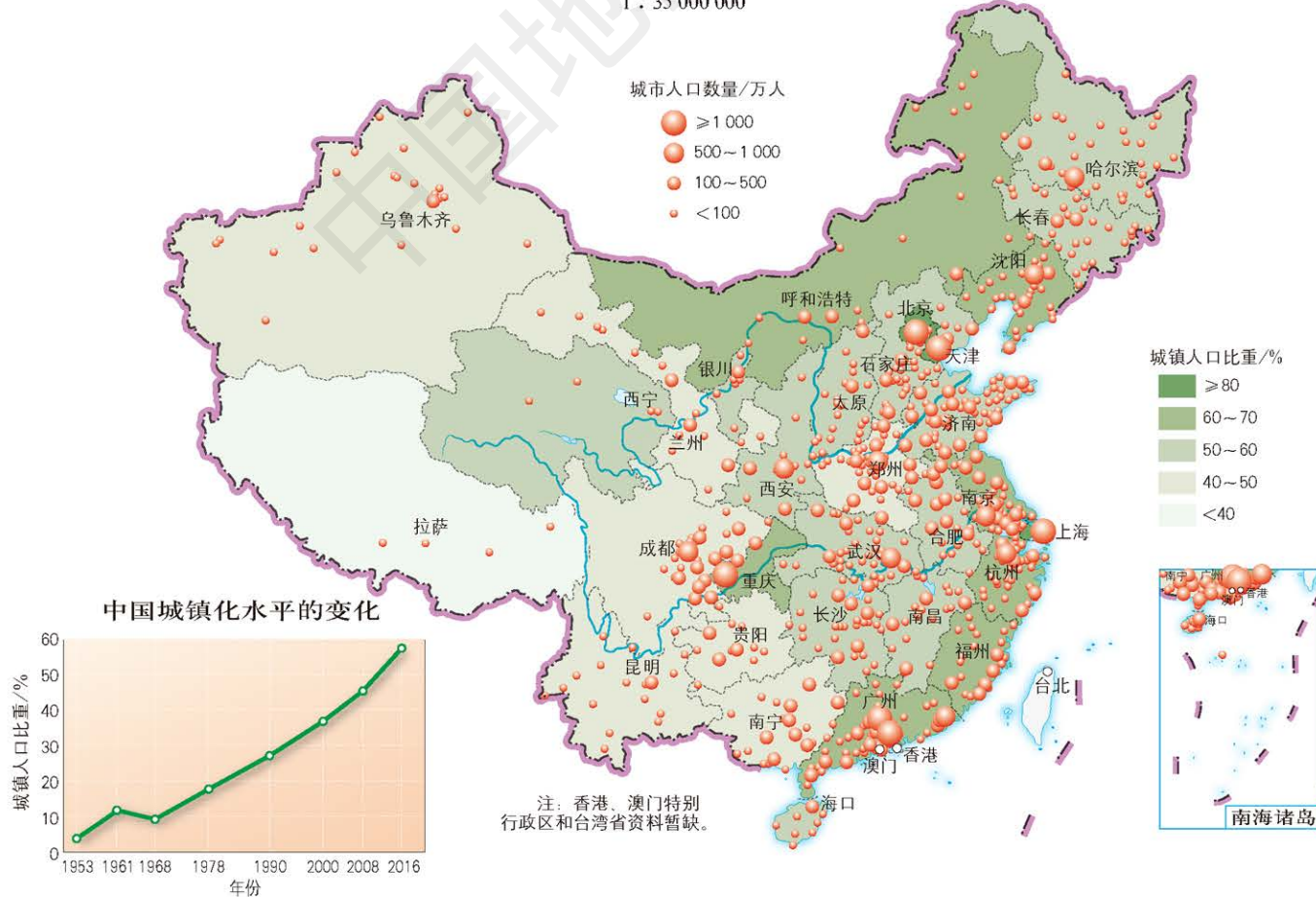
1978年中国各地区城镇化水平及城市分布

1: 35 000 000



2016年中国各地区城镇化水平及城市分布

1: 35 000 000



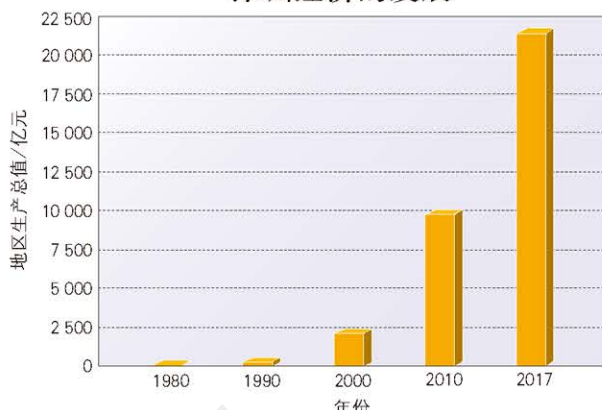
城镇化利弊

城镇化的有利之处

深圳城区的扩展



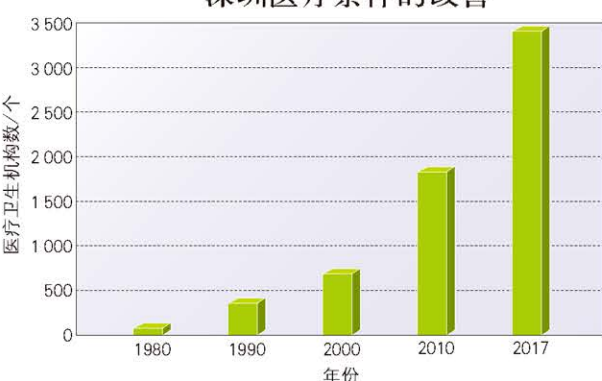
深圳经济的发展



深圳产业结构的调整



深圳医疗条件的改善



城镇化发展过程中的问题



住房紧张



大气污染



交通拥堵

影响农业的区位因素

气候对农业区位的影响——以世界小麦和水稻种植区为例



小麦、水稻生长的基本气温范围			
作物种类	最高气温 /℃	最适气温 /℃	最低气温 /℃
小麦	30~32	20~22	3~4.5
水稻	36~38	30~32	10~12

The legend consists of four entries: 1. A brown square with a grid pattern followed by the text '小麦种植区' (Wheat Cultivation Area). 2. A green square with a grid pattern followed by the text '水稻种植区' (Rice Cultivation Area). 3. A thick brown line followed by the text '小麦种植的南北界限' (South-North Boundary of Wheat Cultivation). 4. A thick green line followed by the text '水稻种植的南北界限' (South-North Boundary of Rice Cultivation).

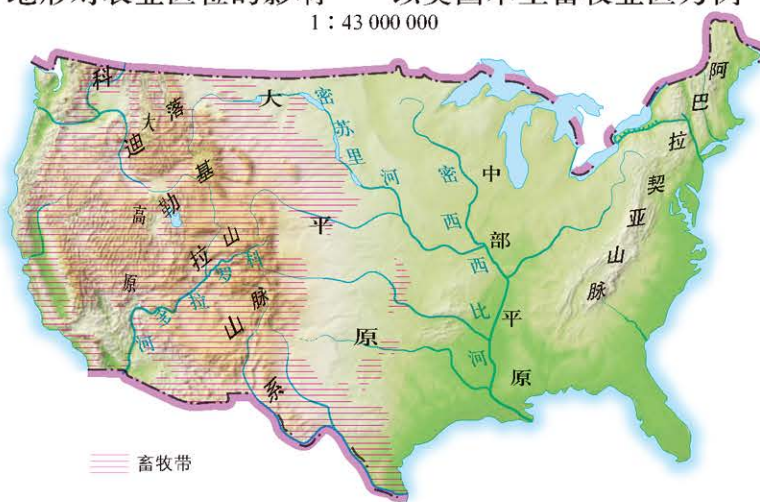
土壤对农业区位的影响——以中国名茶产地分布为例



我国南方低山丘陵区盛产茶叶，除了受气候、地形、种植历史等因素影响，酸性较强的红壤也是其重要因素。



地形对农业区位的影响——以美国本土畜牧业区为例

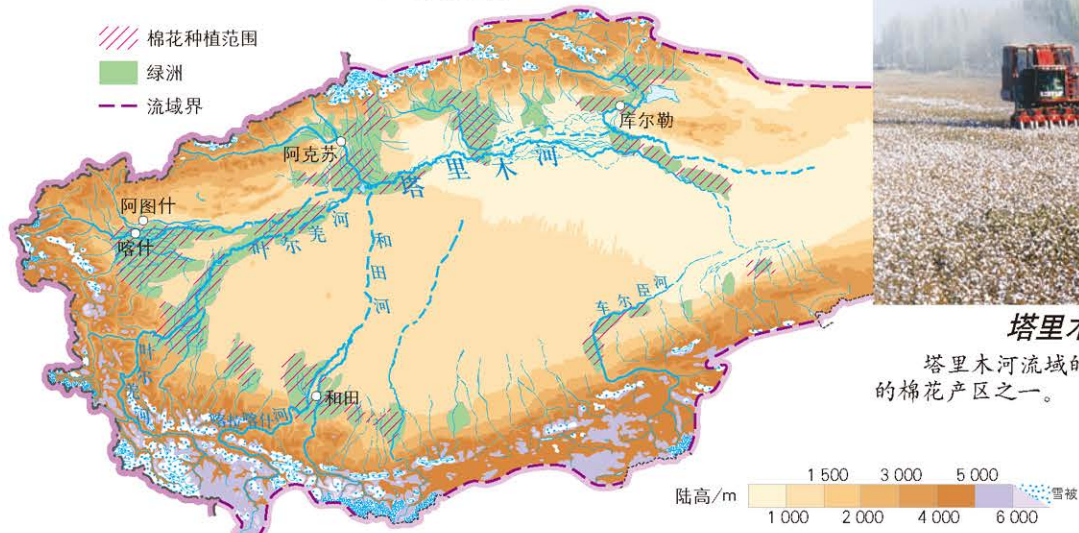


美国西部的畜牧业

美国西部高原、山地广布，气候干旱，适合发展畜牧业。

水源对农业区位的影响——以塔里木河流域棉花产区为例

1:14 000 000

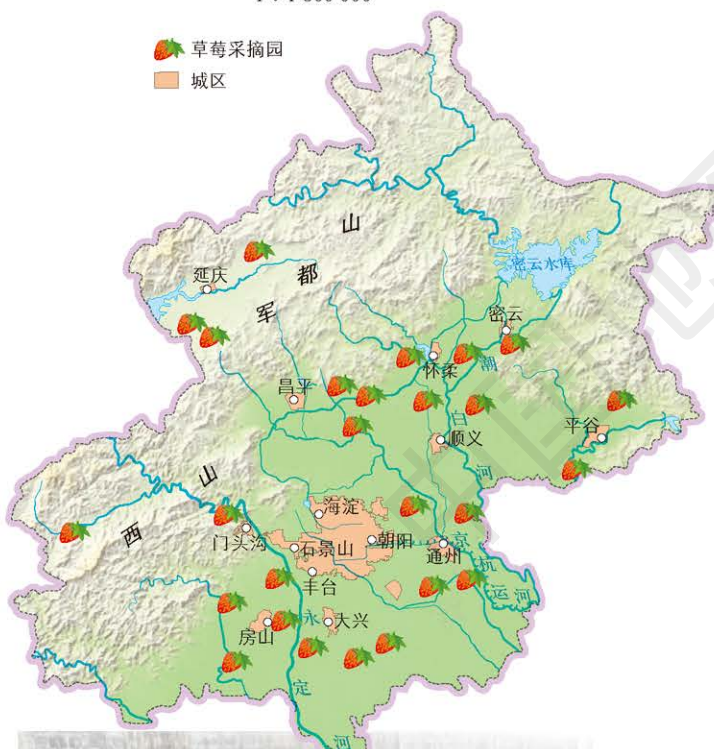


塔里木河流域的棉田

塔里木河流域的绿洲水源丰富，是我国最主要
的棉花产区之一。

市场需求对农业区位的影响——
以北京郊区草莓采摘园为例

1:1 800 000



北京郊区草莓采摘园

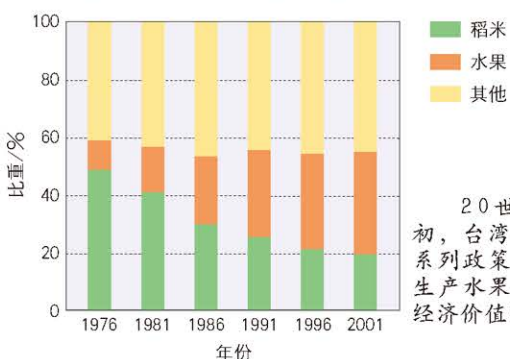
随着北京市民农业观光和休闲的需求逐渐增长，
北京郊区发展起了大量的草莓采摘园。

政策对农业区位的影响——
以台湾岛水果种植为例

1:3 800 000



台湾农作物生产结构的变化

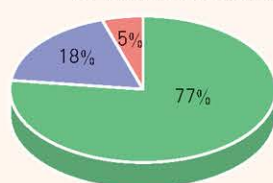


20世纪80年代初，台湾省颁布了一系列政策，鼓励稻农生产水果、蔬菜等高经济价值的作物。

● 交通运输条件对农业区位的影响——以云南花卉产业为例 ●

云南省是世界三大花卉产区之一。凭借着完善的交通运输条件,云南花卉产业取得了令人瞩目的成绩,鲜花花运往全国70多个城市,占全国75%的市场份额。

云南花卉运输方式构成



云南省交通和花卉产业重点县(区)分布



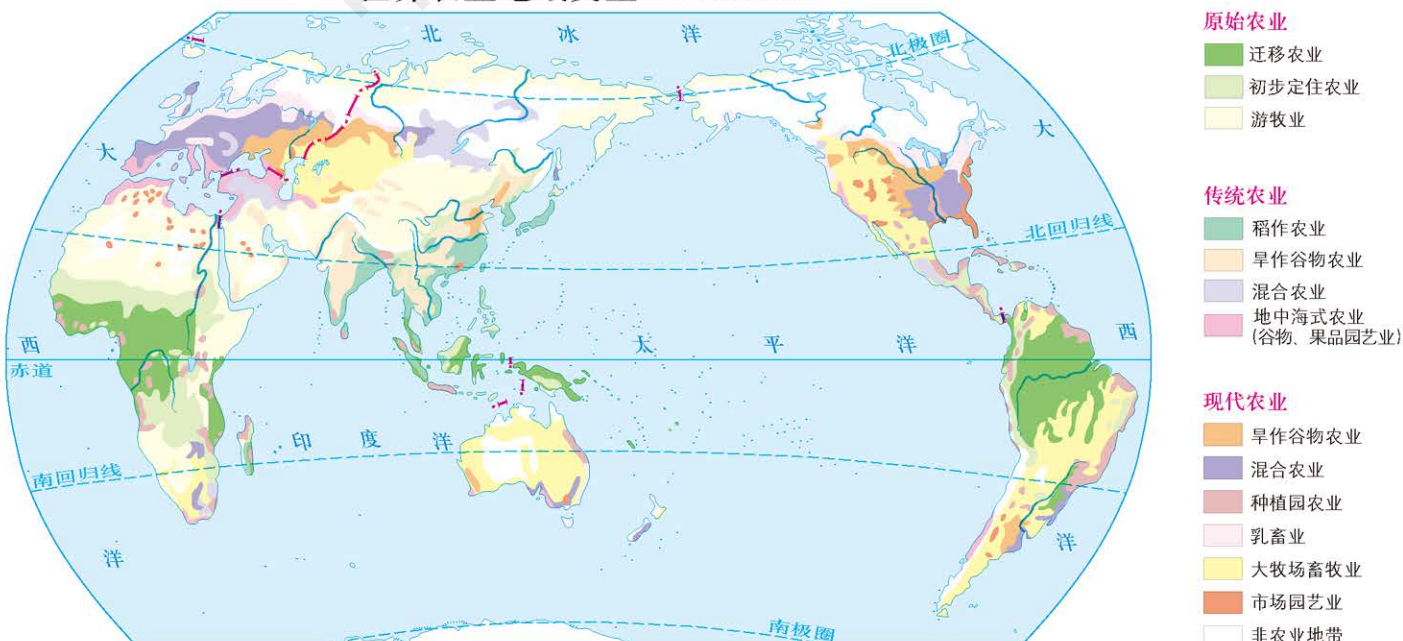
云南花卉的航空运输与市场

1:45 000 000



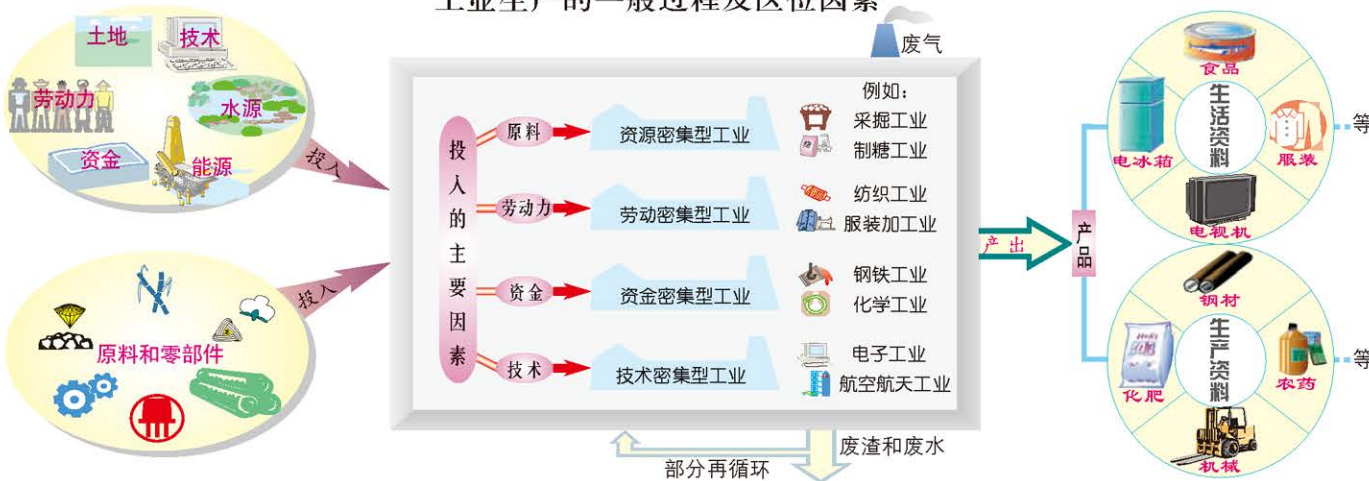
云南花田

世界农业地域类型 1:220 000 000



第二节 工业区位因素

工业生产的一般过程及区位因素



影响工业的区位因素

原材料对工业区位的影响——以中国水产加工厂分布为例

1:40 000 000



市场需求对工业区位的影响——以珠江三角洲地区饮料厂分布为例

1:3 000 000



11 饮料厂及数量(2017年)

城市人口规模/万人
(2017年)

- ≥1 000
- 500~1 000
- 100~500
- 50~100

人口密度(2017年)
人/km²

- ≥2 000
- 1 000~2 000
- 600~1 000
- 200~600
- <200

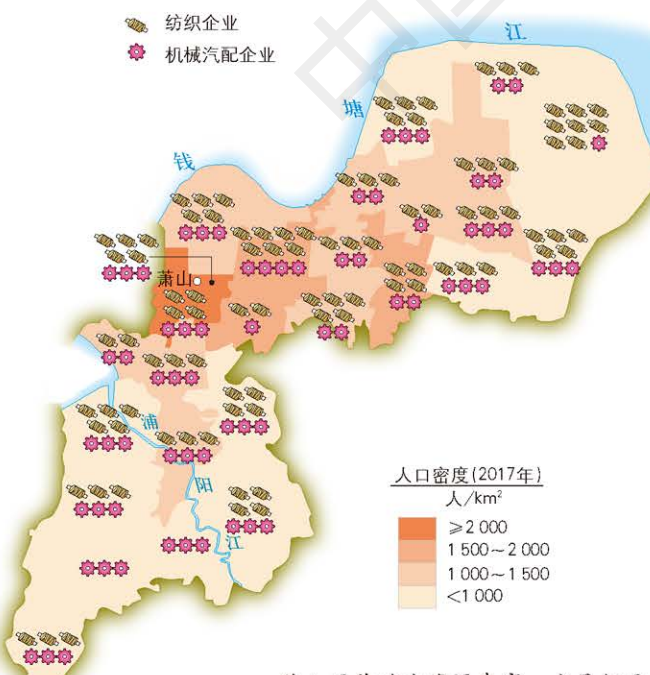
交通运输对工业区位的影响——以日本太平洋沿岸工业带为例

1 : 14 000 000



劳动力对工业区位的影响——以浙江省杭州市萧山区纺织和机械汽配工业分布为例

1 : 700 000



萧山区劳动力资源丰富，发展起了大量的纺织和机械汽配等劳动密集型企业。

动力对工业区位的影响——以陕西省有色冶金工业分布为例

1 : 8 000 000



● 钢铁工业区位选择的三次变化 ●

动力导向型——德国鲁尔区钢铁工业（19世纪）



钢铁工业区位的变化

时代	主导因素	区位选择	举例
19世纪	动力(燃料)	近煤矿	德国鲁尔区
20世纪初	原料(铁矿石)	近铁矿	中国鞍钢
1950年以后	市场	近市场	中国宝钢

市场导向型——中国宝钢



原料导向型——中国鞍钢



世界主要工业区分布 1:200 000 000



■ 影响服务业的区位因素

市场需求对服务业区位的影响——以北京市方庄社区生活性服务业为例



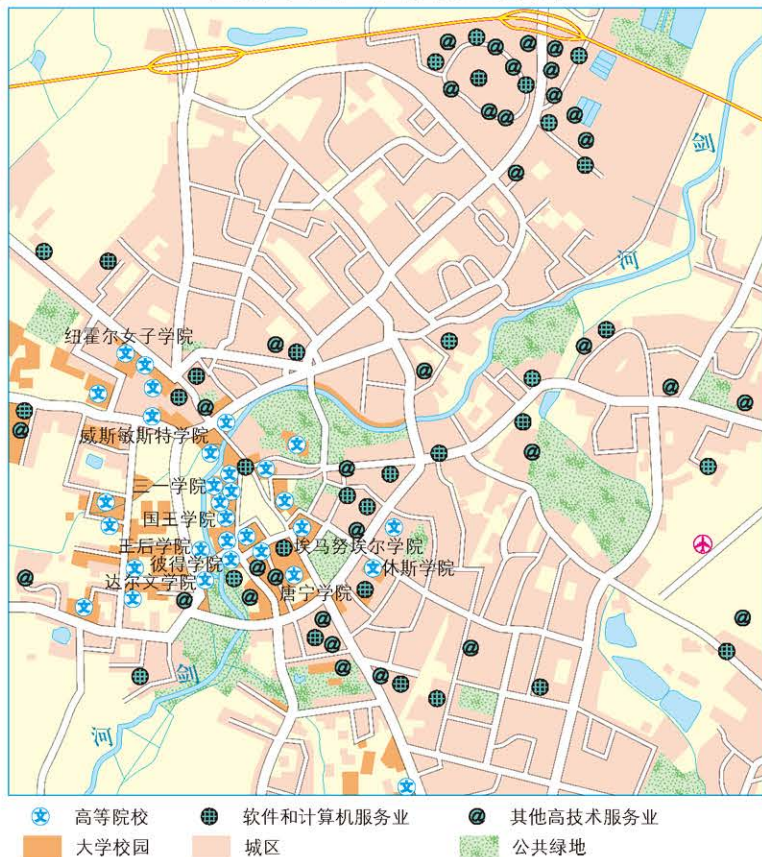
剑桥市在英国的位置



剑桥大学

剑桥大学位于英国剑桥市，包含31所相对独立的学院，有学生1.9万余人。剑桥大学周围发展起众多科技服务企业和高技术服务企业，加快了科技成果产业化的步伐。

高素质劳动力对服务业区位的影响——以英国 剑桥市生产性服务业为例



交通运输对服务业区位的影响——以湖北省物流业分布为例

1:5 000 000



● 地价和企业竞租能力对服务业区位的影响 ●

上海市区商业用途基准地价 (2013年)



上海市的金融服务业竞租能力强，高级别的金融服务机构数量众多，集聚在地价高昂的城市中心区。

上海市陆家嘴金融贸易区和外滩金融集聚带的金融机构分布



上海市金融业生产总值的变化



■ 交通运输对区域社会经济发展的影响

洋山港的位置

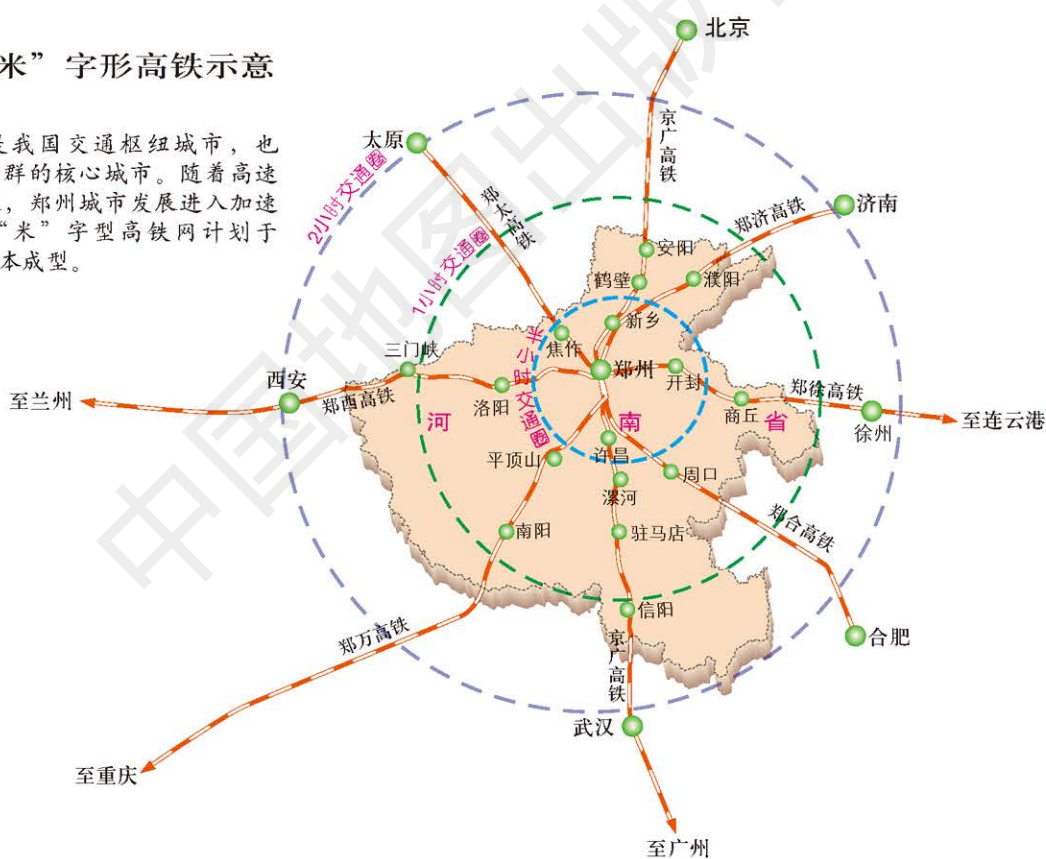


洋山港是我国最大的集装箱港,是依托小洋山岛填埋周边海域而成的码头。洋山港已成为上海港的主体部分,为上海建设现代航运服务业,成为国际航运中心发挥了巨大作用。

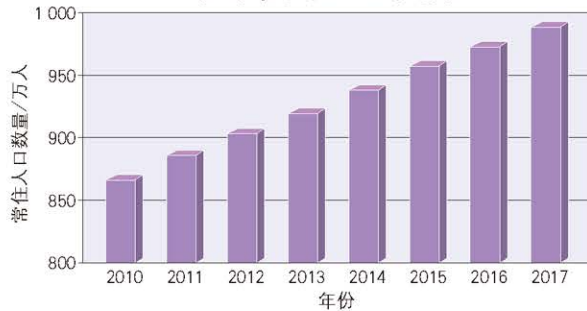


郑州“米”字形高铁示意

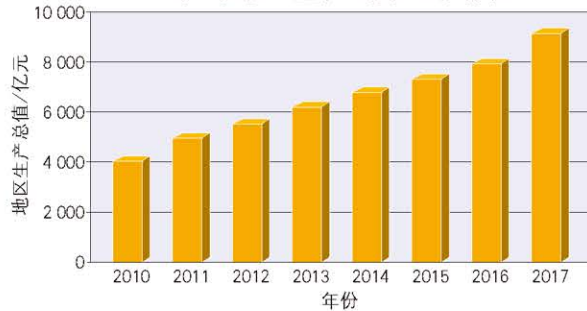
郑州是我国交通枢纽城市，也是中原城市群的核心城市。随着高速铁路的发展，郑州城市发展进入加速期。郑州“米”字型高铁网计划于2020年底基本成型。



郑州常住人口的增长



郑州地区生产总值的增长



中缅油气管道 1:25 000 000



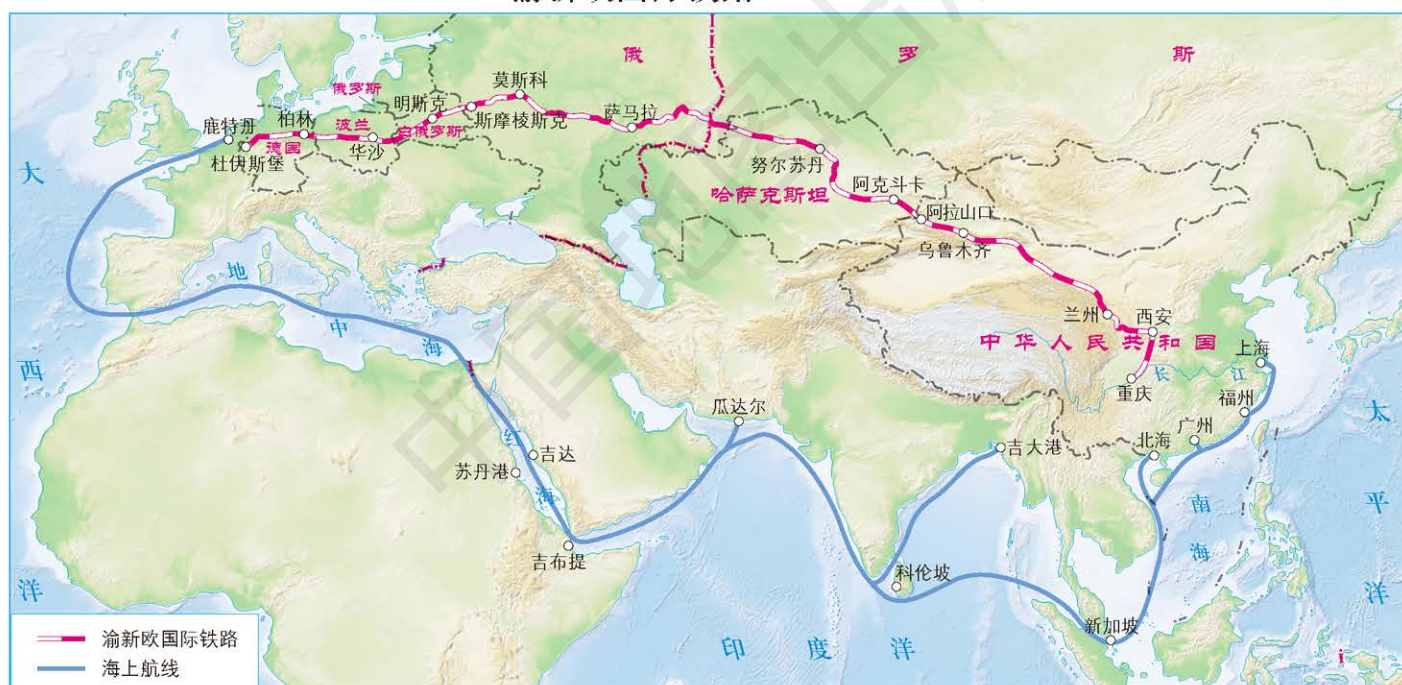
中缅油气管道是继中哈原油管道、中亚天然气管道和中俄原油管道之后又一条重要能源进口通道。它包括原油管道和天然气管道，可以使油气运输不经过马六甲海峡，从西南地区输送到中国，对保障能源安全有重大意义。

港珠澳大桥

港珠澳大桥全长55千米，是世界最长的跨海大桥。大桥的建成使香港至珠海、澳门的陆上通行时间由3小时缩短到30分钟，推动了粤港澳大湾区的发展。



渝新欧国际铁路 1:95 000 000



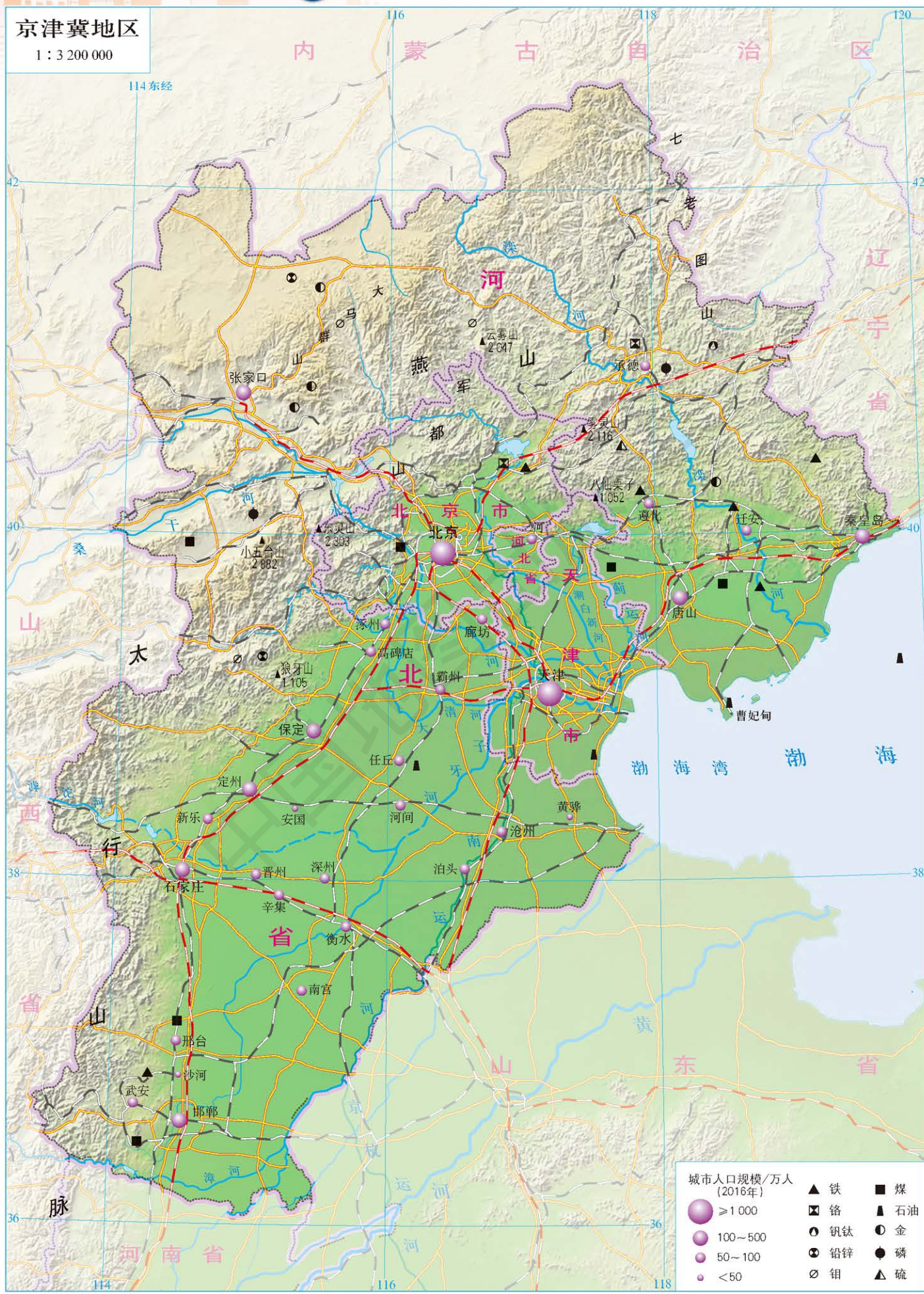
通过渝新欧国际铁路运输的主要货物



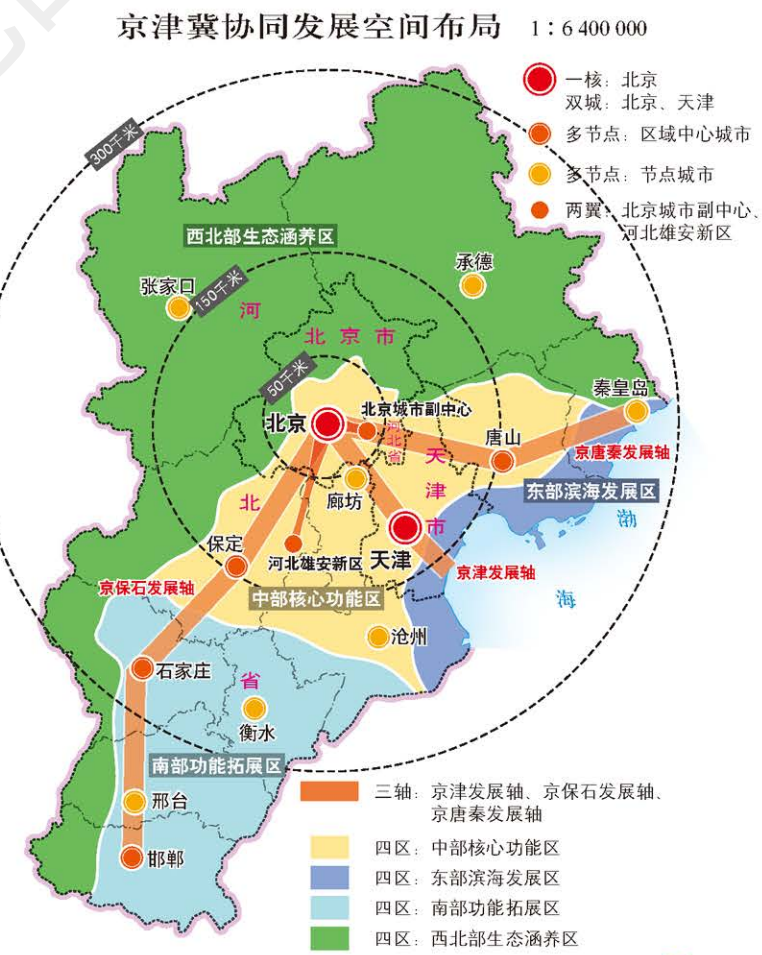
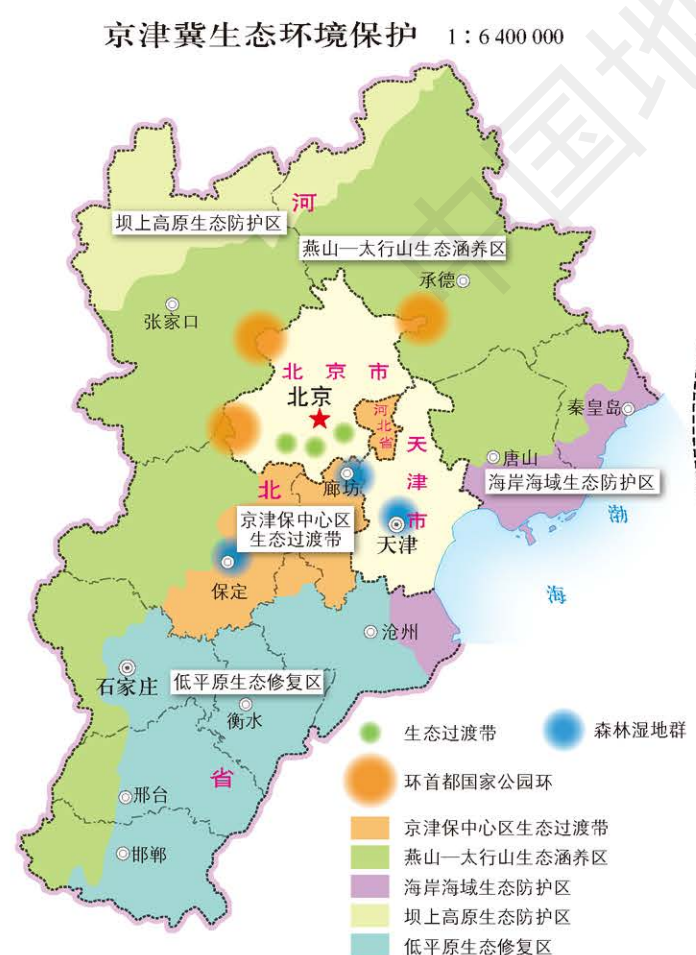
渝新欧国际铁路是重庆至欧洲的国际铁路大通道，全长1.1万千米。集装箱货物经“渝新欧”运输仅需14天，比海运快了近30天，运价仅为海运的1/5。“渝新欧”使重庆这个内陆城市一跃成为全国乃至世界的开放性城市。



重庆铁路集装箱中心站



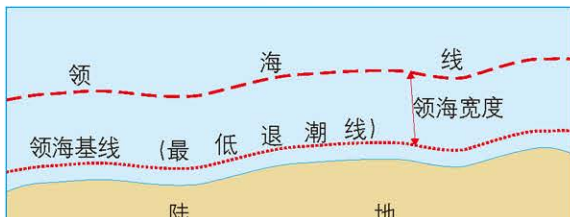
京津冀协同发展的路径



第二节 国家海洋权益与海洋发展战略

■ 我国的海洋权益与海洋发展战略

领海基线的划法



正常基线法



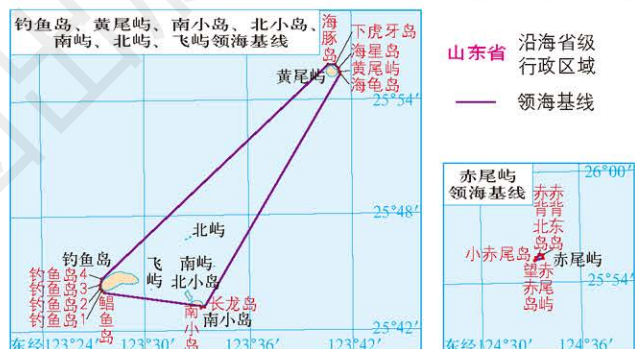
直线基线法



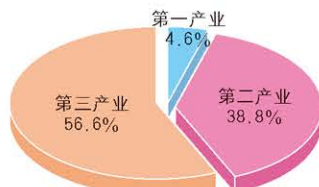
中国的国际海底矿区——东北太平洋C-C海区

1991年经相关国际组织批准,中国在夏威夷群岛东南方的太平洋国际海底区域获得一块面积达15万平方千米的多金属结核资源开辟区(东北太平洋C-C海区),成为世界上第5个“国际海底先驱投资者”。目前,中国已有4块国际海底区域矿区。

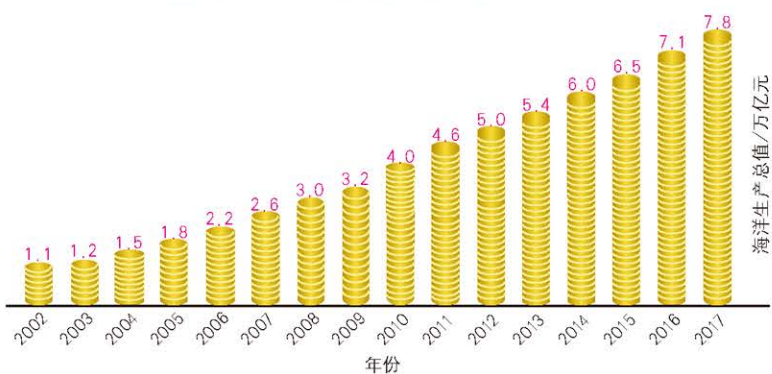
中国已经公布的领海基线



中国海洋产业结构 (2017年)



中国海洋生产总值的变化 (2002—2017年)



■ 海洋权益与发展战略对我国的重要意义



“蛟龙号”载人潜水器

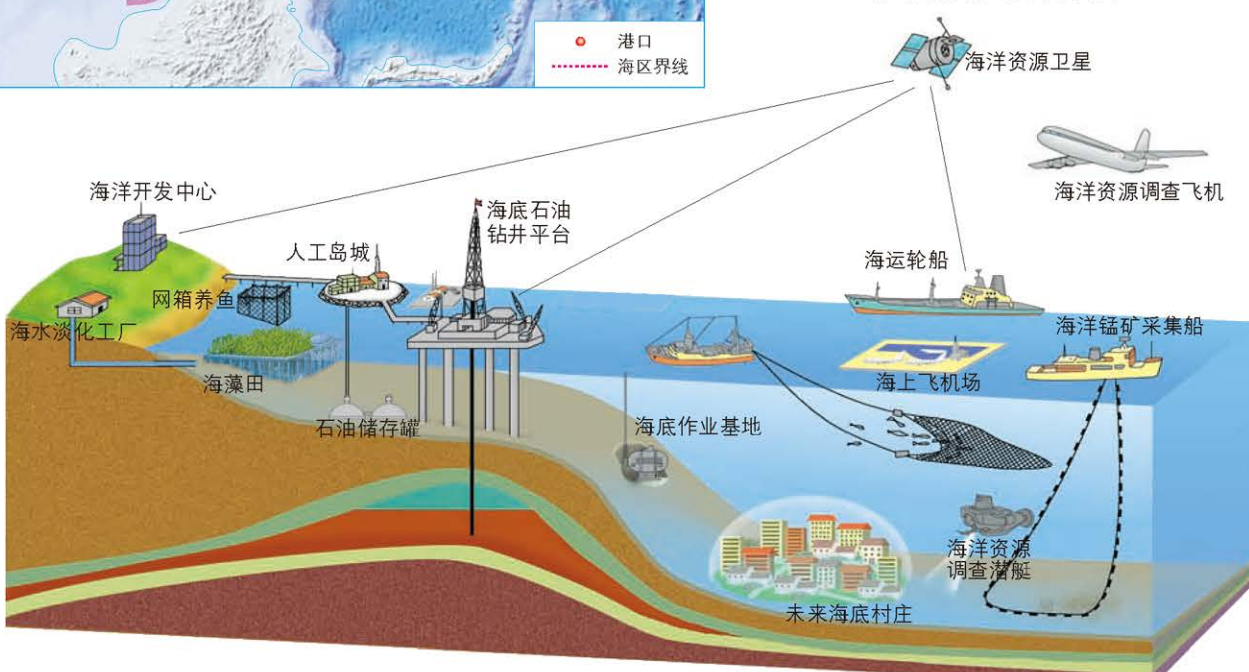
“蛟龙号”是我国自主设计和研制，世界上下潜能力最深的作业型载人潜水器，设计最大下潜深度为7000米，对我国开发利用深海资源有重要意义。



“海洋石油981”深水半潜式钻井平台

我国自主设计的“海洋石油981”深水半潜式钻井平台，最大作业水深3000米，最大钻井深度可达10000米，代表了当今世界海洋石油钻井平台技术的最高水平，大大提升了我国海上石油开发能力。

未来海洋综合开发



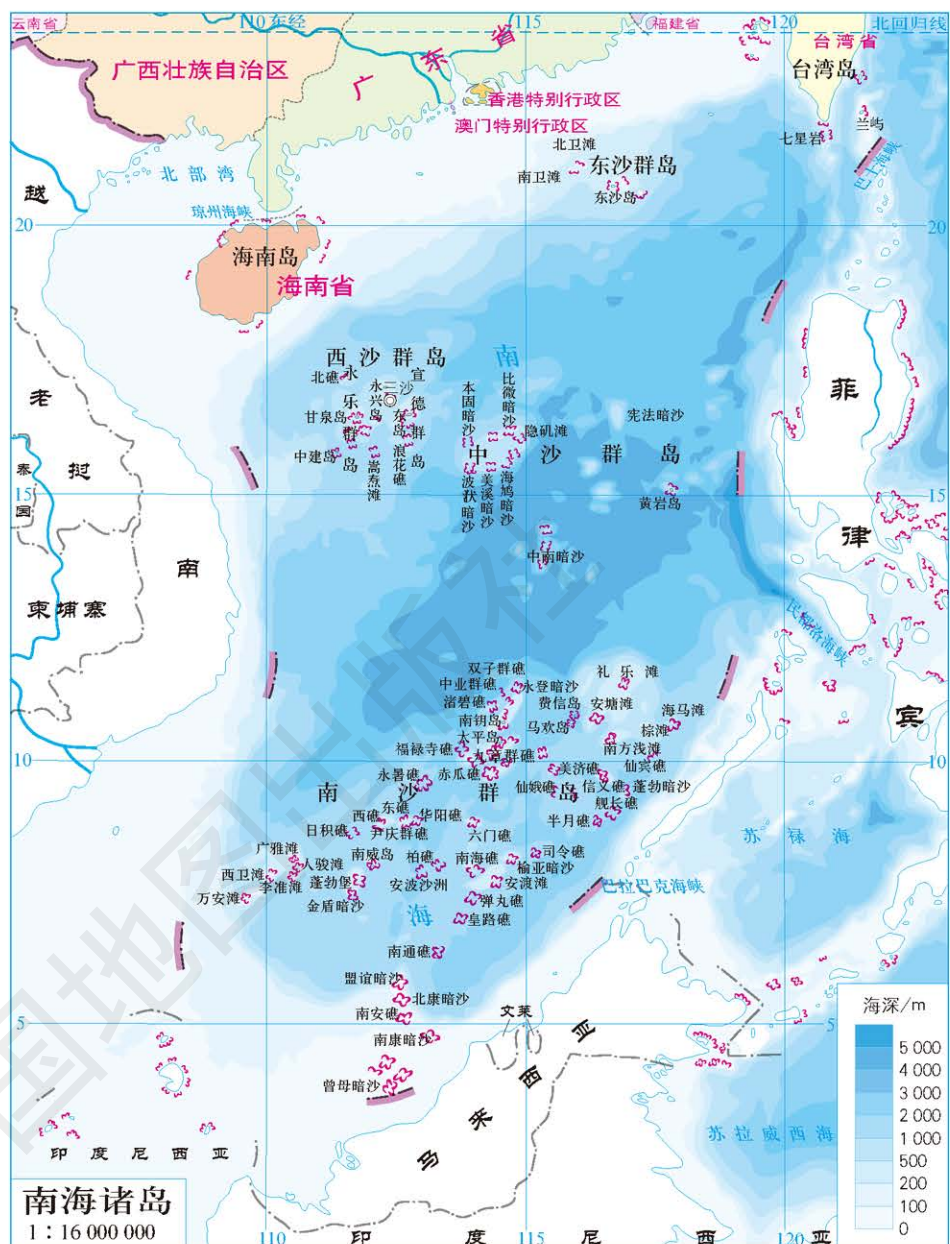
第三节 南海诸岛与钓鱼岛及其附属岛屿

■ 南海诸岛

南海诸岛在中国的地理位置



海南省三沙市行政中心



“科学”号南海科考

“科学”号海洋科学综合考察船是我国最先进的海洋科考船，具备全球航行能力和全天候观测能力。



华阳礁灯塔

2015年10月，位于我国南海华阳礁的灯塔正式投入使用。南海是重要的国际海上运输通道，也是世界上重要的渔场。我国在南海建设灯塔，为航经该海域的船舶提供高效的导航助航服务，大大提高了南海海域船舶航行安全。

■ 钓鱼岛及其附属岛屿



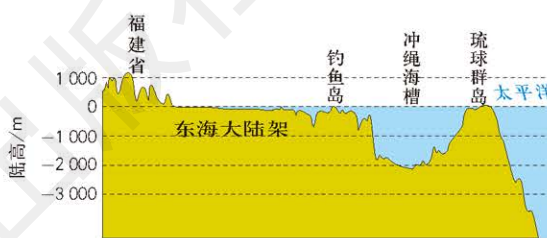
钓鱼岛及其附属岛屿
在中国的地理位置



钓鱼岛及附近岛屿



钓鱼岛和东海大陆架地形剖面



钓鱼岛及其附属岛屿，与台湾岛、澎湖列岛、舟山群岛同在东海大陆架的自然延伸面上，与琉球群岛以深海槽相隔。

• 辽宁舰航母编队首次远海训练 •



辽宁舰航母编队

2016年12月23日—2017年1月13日，
由中国海军辽宁舰等组成的航母编队，
首次完成跨海区远海训练航行。这是人
民海军从近海走向远洋的重要标志。

第四节 地理信息技术的应用

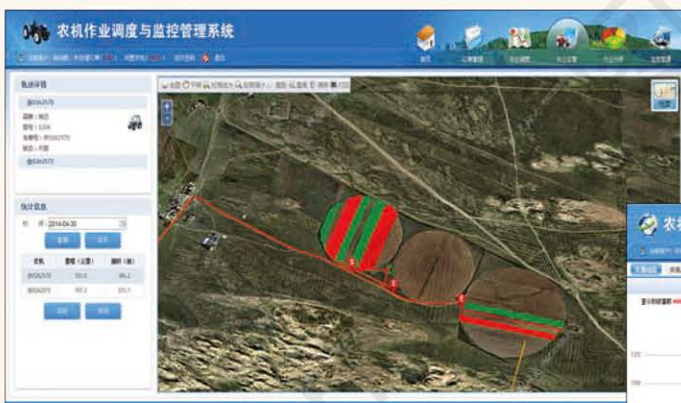
2015年春运期间十大迁出城市的迁徙图 (截至2015年2月19日8:00)



中国的春运是全球范围内最大规模短期人口迁徙活动之一。利用地理信息技术、计算机技术、大规模存储技术等对手机用户定位信息大数据进行智能分析，能够全面、及时、直观地反映人口迁移状况，为政府部门提供参考，以进行科学合理的资源配置。

北京市农机作业供需服务及管理平台

北京市农机作业供需服务及管理平台基于北斗导航技术、地理信息系统、物联网技术，紧密结合农机作业全流程业务，实现对农民、农机服务组织、政府农机管理等部门的动态并联，通过对农机作业的订单管理、任务调度、作业监管、作业分析、应急管理等全流程管理，提高农业生产效率，促进生态农业的健康发展。



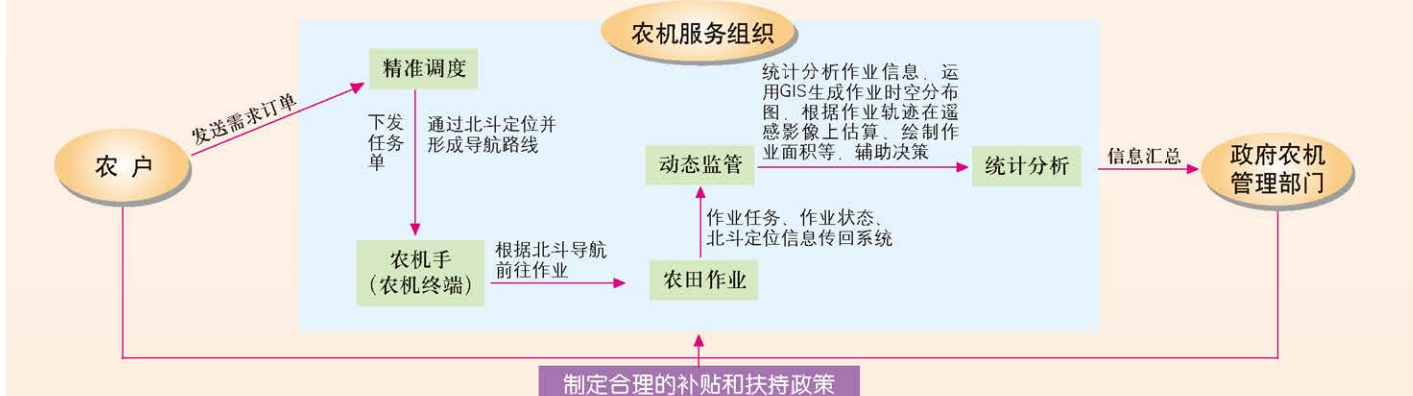
农机作业调度与监控管理系统



农机作业辅助决策系统



农机作业调度系统流程

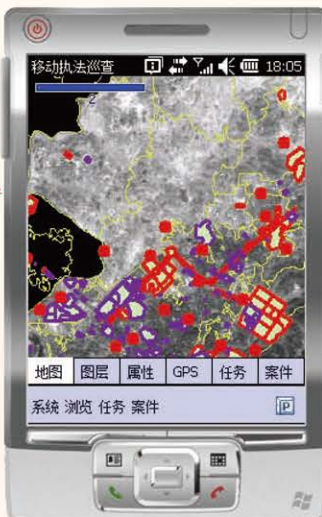


国土动态执法巡查监控系统

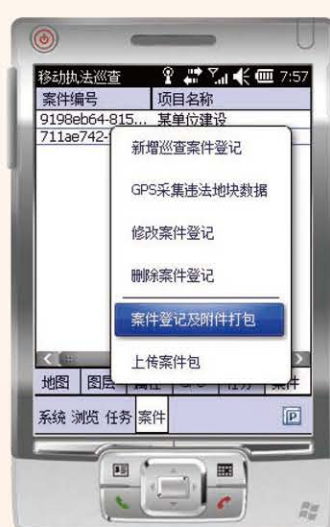
在平台上对地块进行比对、核查



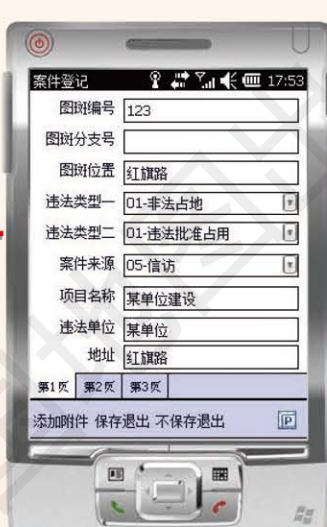
现场执法巡查



疑似违法地块
信息采集



远程数据传输



案件登记



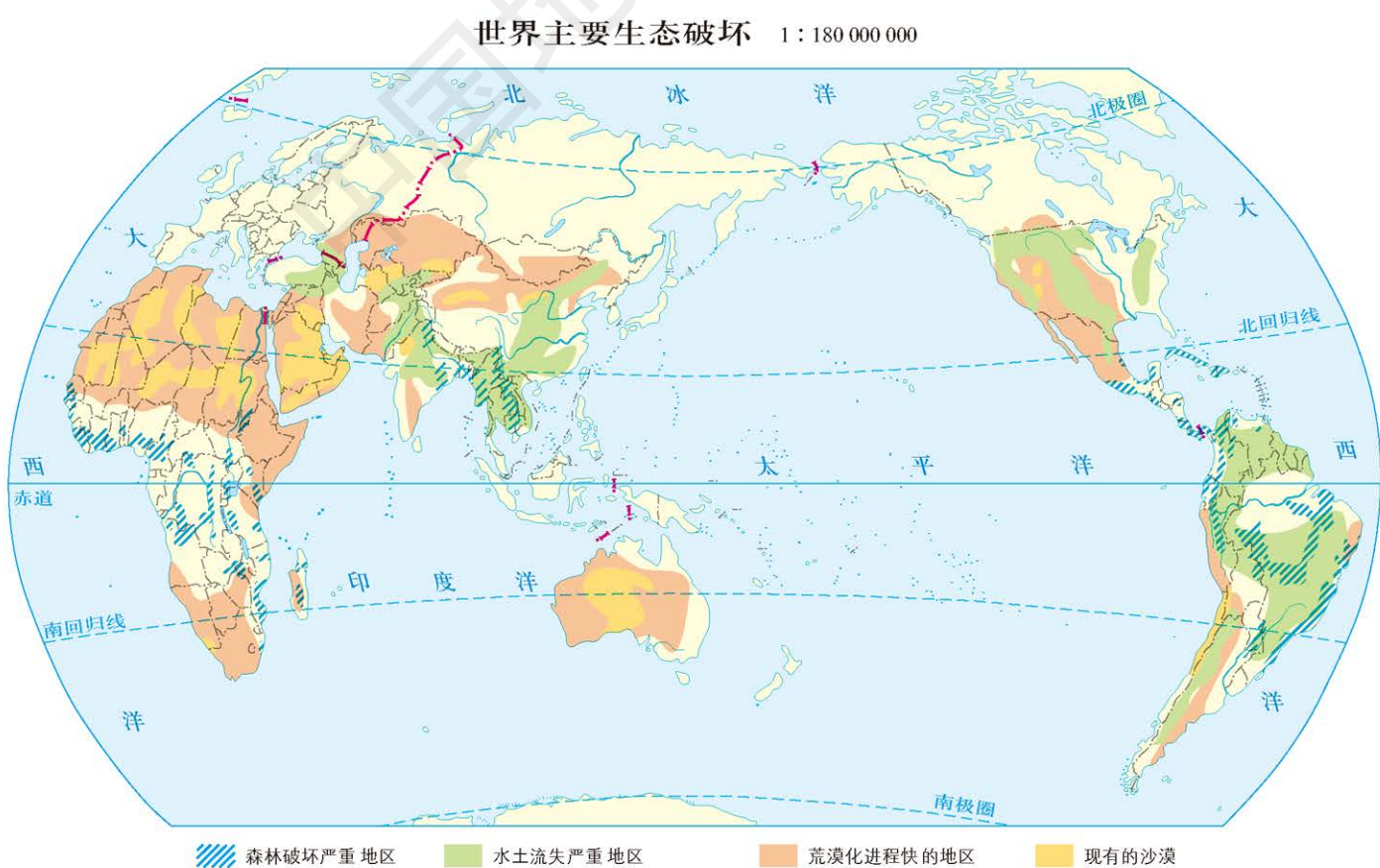
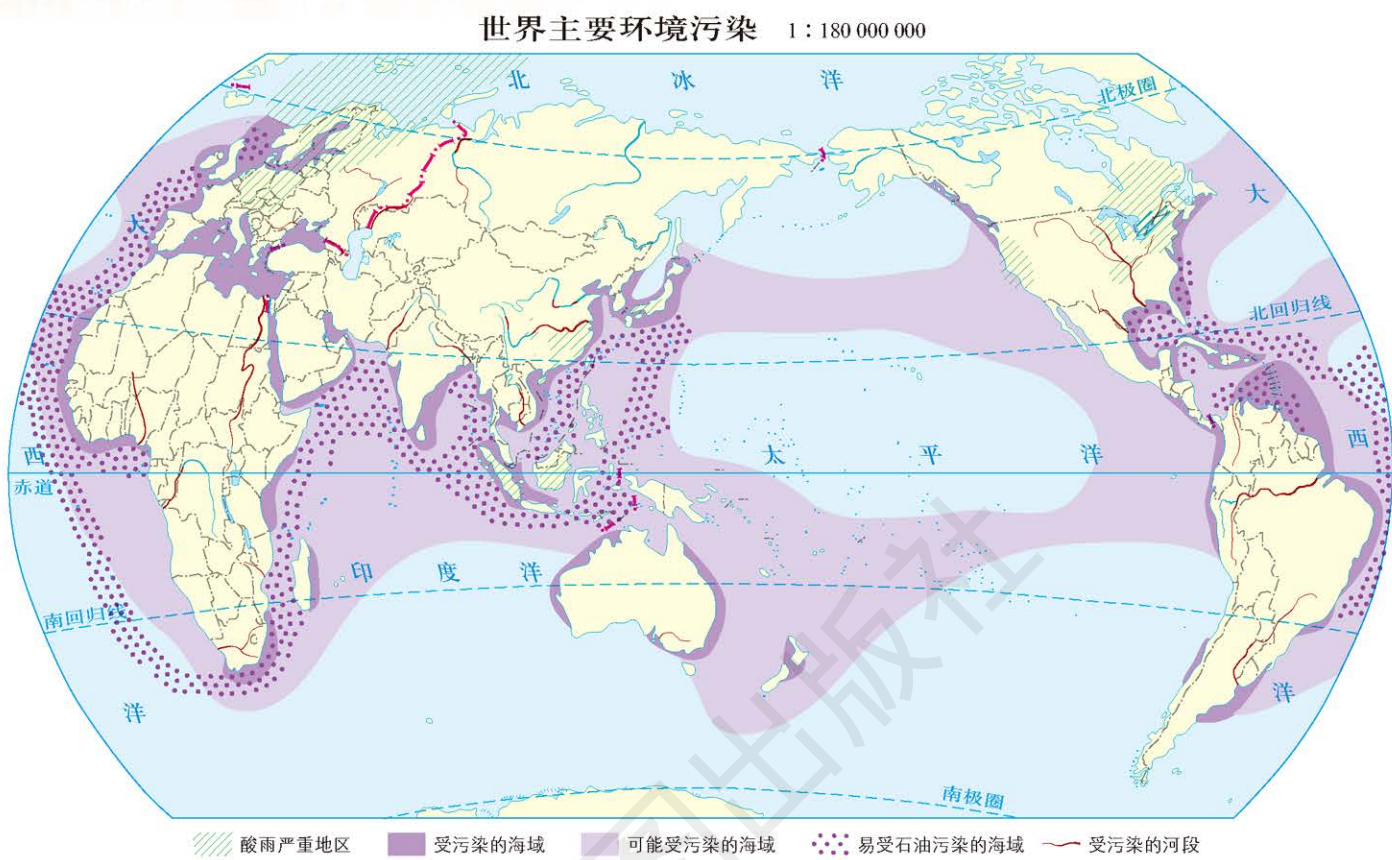
执法巡查监控系统
接收到数据后，
进行违法用地的显示、分析



国土资源“一张图”工程，是利用3S技术实现国土资源开发利用的“天上看、网上管、地上查”，从而实现土地资源动态监管。国土动态执法巡查监控系统是其中的一个应用。

第一节 人类面临的主要环境问题

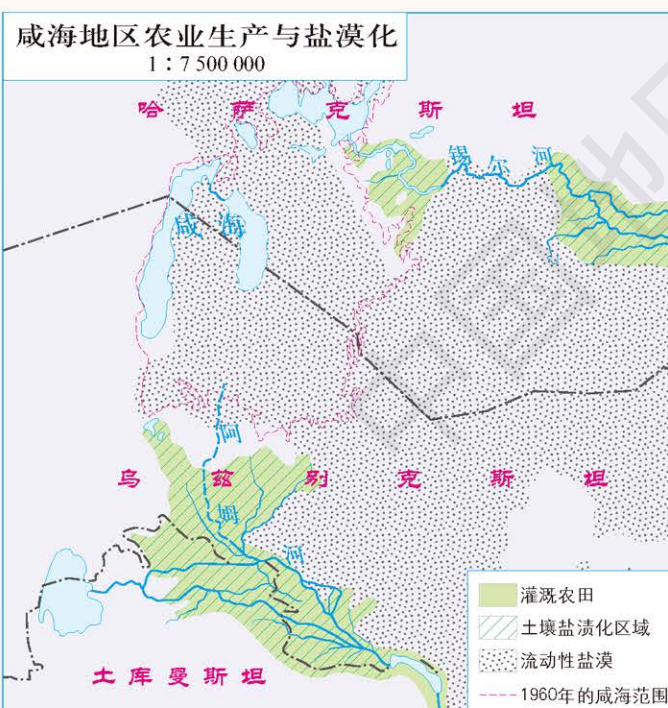
■ 全球性环境问题



环境问题产生的原因



咸海地区的盐漠化



20世纪50年代，生活在阿姆河和锡尔河周边的农民，大量使用河水灌溉棉田，致使以这两条河为水源的咸海水面大幅度萎缩，严重破坏了咸海的生态平衡。咸海周围的土地逐渐变成了盐化沙漠（盐漠）。

咸海萎缩及周边区域盐漠化过程



咸海地区生态危机指标

年份	咸海干涸形成的盐漠范围 /km ²	盐漠盐尘扩散的影响范围 /10 ⁴ km ²	受影响人数 /万人
1976	30 200	10~15	50~60
1996	38 000	25~30	300~350
2000	42 000	40~45	350~700



昔日的咸海湖床已成一片盐漠

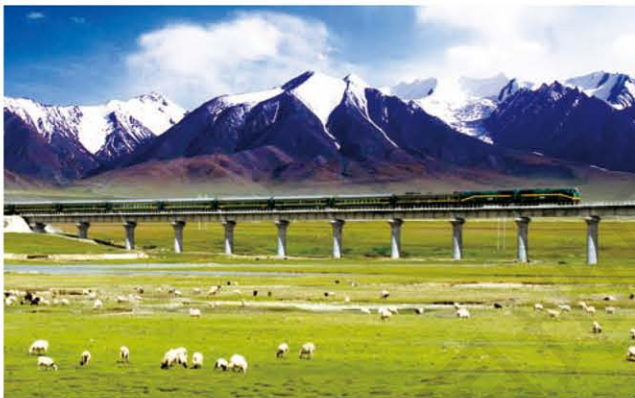
第二 节 协调人地关系与可持续发展

■ 可持续发展的途径



黄土高原水土流失治理

黄土高原是世界上水土流失最严重的地区之一。几十年来,通过采取植树种草等生物措施与修建梯田、修挡土坝等工程措施,黄土高原的生态环境得到很大改善,平均每年拦减入黄泥沙4.35亿吨。



青藏铁路建设与野生动物保护

青藏铁路选线时尽量避开野生动物栖息、活动的重点区域。对不能避开的路段,设置了33处野生动物通道。根据不同动物的迁徙习性,通道设计为桥梁下方、隧道上方及缓坡平交三种形式。



三江源地区生态保护

位于青海省南部的三江源地区是长江、黄河、澜沧江的发源地,素有“中华水塔”之称。近年来,通过不断治理和保护,这一地区生态环境持续改善,植被覆盖率、水源供给量逐年提高,野生动物种群得到恢复。

“绿水青山就是金山银山”
——中国生态建设与生态保护举措
1:24 000 000



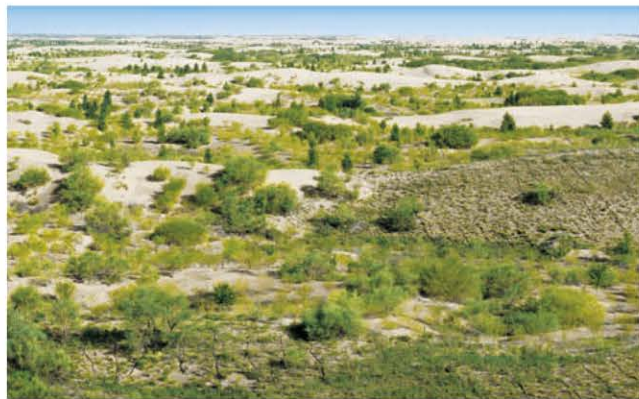
生态建设

- 治沙工程
- “三北”防护林体系工程
- 长江中上游防护林体系工程
- 太行山绿化和海河流域水土流失治理工程
- 沿海防护林体系工程
- 淮河—太湖流域水土流失防护林体系工程
- 珠江流域综合防护林体系工程
- 黄河中游防护林体系工程
- 黄土高原水土流失重点治理地区

生态保护

- 三江源地区生态保护
- 我国加入联合国“人与生物圈”自然保护区网的自然保护区

注:台湾省资料暂缺。



库布齐沙漠治理

内蒙古库布齐沙漠曾经是我国第七大沙漠。通过“锁住四周、渗透腹部，以路化区、分割治理，丘间湿滩、点缀治理”的治沙措施，库布齐沙漠实现了“治沙、生态、产业、扶贫”相平衡的可持续发展，其治理成果荣获联合国2015年度土地生命奖。



长江流域水环境保护

近年来通过加强饮用水水源地保护、提高工业污染防治水平、推进污水治理设施运营、强化洞庭湖与鄱阳湖生态安全体系建设、加强长江口及近岸海域污染防治及生态建设等多方面的措施，长江流域水污染治理取得明显成效。

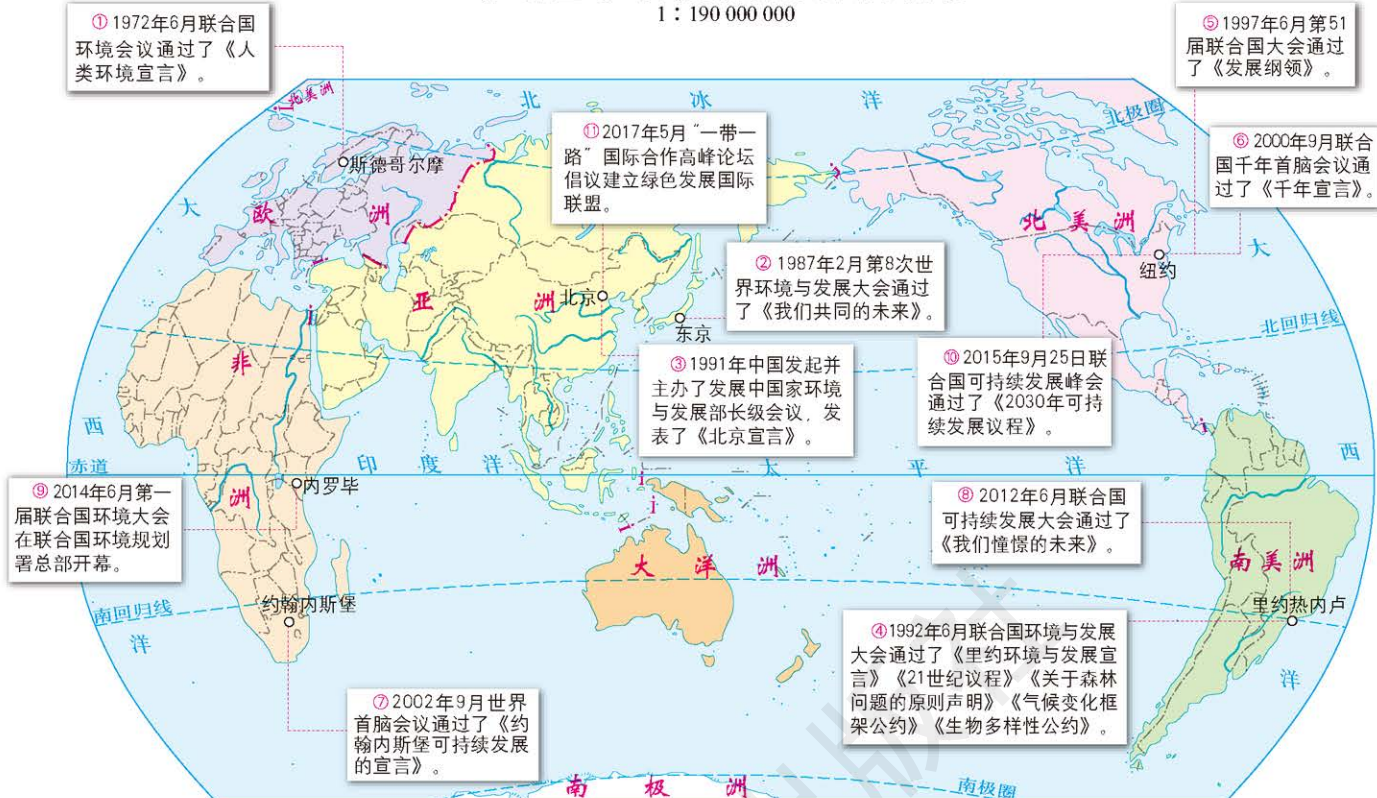


沿海防护林体系建设

我国沿海防护林体系建设是世界上最长的沿海绿化工程，在防风固岸、保护农田等方面发挥着重要作用，享有“绿色走廊”之誉。自1991年我国启动该工程以来，工程区森林覆盖率由24.9%提高到了38.8%。

推动全球可持续发展的国际合作

1: 190 000 000



● 实现可持续发展的社会行为 ●

政府行为



市场行为

生态农业



生态工业



生态城市



公众行为



节约用水



实行垃圾分类

绿色出行



使用环保产品



主 编 王 民 田 忠
 副 主 编 李红梅 陈 瑶
 责任编辑 李红梅
 编 辑 廖 倩
 审 校 许丛华 李 炎
 复 审 孙 玥
 审 订 孙冬冬
 封面设计 徐海燕



DILI TUCE
地理图册

必 修

第二册

普通高中教科书
 书 名 地理图册 必修 第二册
 编 著 中国地图出版社

出 版 中国地图出版社
 社 址 北京市西城区白纸坊西街3号
 邮 政 编 码 100054
 电 话 010-83543863
 地图教学网 www.ditu.cn
 电子邮箱 sinomaps@yeah.net
 印 刷 行
 成 品 规 格 210mm×297mm
 印 张 3.25
 版 次 2019年6月第1版
 印 次 2021年6月 第3次印刷

书 号 ISBN 978-7-5204-1200-1
 审 图 号 GS(2019)3225号

本图册中国国界线系按照中国地图出版社1989年
 出版的1:400万《中华人民共和国地形图》绘制



绿色印刷产品



定 价： 元